

Tartu Ülikool

Loodus- ja täppisteaduste valdkond

Matemaatika ja statistika instituut

Perttu Narvik

**Sõidukite kindlustuskahjude sageduse hindamine  
mitmemõõtmelise adaptiivse regressioonsplaini abil**

Kindlustus- ja finantsmatemaatika eriala

Magistritöö (30 EAP)

Juhendajad: Meelis Käärik

Tõnis Maldre (Salva kindlustus)

Tartu 2019

## **Sõidukite kindlustuskahjude sageduse hindamine mitmemõõtmelise adaptiivse regressioonsplaini abil**

Magistritöö eesmärgiks on tutvustada mitmemõõtmelist adaptiivset regressioonisplaini ning rakendada seda meetodit Eesti liikluskindlustuse andmetele. Töö esimeses osas antakse ülevaade üldistatud lineaarsest mudelist ja üldistatud aditiivsest mudelist loendusandmete korral ning kirjeldataks mitmemõõtmelise adaptiivse regressioonisplaini kasutamist nii parameetrilisel kui ka mitteparameetrilisel viisil. Töö teises osas sobitatakse tutvustatud meetodide põhjal mudelid, mis prognoosivad kindlustuskahjude sagedust ning selgitatakse välja parim mudel.

**Märksõnad:** *kindlustusmatemaatika, sõidukikindlustus, statistilised mudelid, üldistatud lineaarsed mudelid*

P160 Statistika, operatsioonanalüüs, programmeerimine, finants- ja kindlustusmatemaatika

## **Estimation of Claim Frequency for Vehicle Insurance by Using Multivariate Adaptive Regression Spline**

The aim of this thesis is to introduce multivariate adaptive regression spline and apply it to Estonian vehicle insurance data. In the first section an overview is given about generalized linear model and generalized additive model for count data and multivariate adaptive regression spline is described for both non-parametric and parametric models. In the second section the models are fitted to predict claim frequency by using the methods that are introduced in the first section and the best model is chosen.

**Keywords:** *actuarial mathematics, vehicle insurance, statistical models, generalized linear models*

P160 Statistics, operation research, programming, actuarial mathematics

# Sisukord

<b>Sissejuhatus</b>	<b>4</b>
<b>1 Üldistatud lineaarne mudel</b>	<b>6</b>
1.1 Üldistatud lineaarse mudeli hindamine . . . . .	10
<b>2 Üldistatud aditiivne mudel</b>	<b>12</b>
2.1 Aditiivse mudeli hindamine . . . . .	12
2.2 Üldistatud aditiivse mudeli hindamine . . . . .	14
<b>3 Mitmemõõtmeline adaptiivne regressioonisplain</b>	<b>16</b>
3.1 MARSi mudeli hindamine . . . . .	18
<b>4 Liikluskindlustuse kahjusageduse hindamine</b>	<b>22</b>
4.1 Andmestik . . . . .	22
4.1.1 Andmestiku korrastamine . . . . .	23
4.2 R-i pakett <code>earth</code> . . . . .	26
4.3 Tulemused . . . . .	27
<b>Kokkuvõte</b>	<b>36</b>
<b>Kasutatud kirjandus</b>	<b>38</b>
<b>Lisad</b>	<b>40</b>
Lisa 1. Poissoni mudeli väljund . . . . .	40
Lisa 2. Negatiivse binoomjaotuse mudeli väljund . . . . .	41

Lisa 3. MARSi mudeli väljund . . . . .	42
Lisa 4. MARSi tunnustega Poissoni mudeli väljund . . . . .	43
Lisa 5. MARSi tunnustega negatiivse binoomjaotuse mudeli väljund	45
Lisa 6. R-i kood . . . . .	46

## Sissejuhatus

Kindlustusreservide hindamisel on väga oluline prognoosida võimalikult täpselt nii kahjude suurust kui ka kahjude esinemise sagedust. Väga levinud meetod kahjude sageduse hindamiseks on üldistatud lineaarne mudel, kuid mitte-lineaarsete seoste modelleerimiseks on välja töötatud ka alternatiivseid meetodeid. J. Friedman tutvustas 1991. aastal mitmemõõtmelist adaptiivset regressioonisplaini (edaspidi ka MARS), mille abil on võimalik leida mitte-lineaarseid seoseid. MARSi algoritm teostab ka muutujate valikut.

Magistritöö eesmärgiks on tutvustada mitmemõõtmelist adaptiivset regressioonisplaini, rakendada seda meetodit Eesti liikluskindlustuse andmetele ning võrrelda saadud tulemusi üldistatud lineaarsete mudelitega.

Töö esimene pool koosneb kolmest teoreetilisest peatükist. Esimene peatükk annab ülevaate lihtsamatest üldistatud lineaarsetest mudelitest loendusandmete prognoosimiseks. Töö teises peatükis kirjeldatakse üldistatud adaptiivset mudelit ja selle mudeli hindamise algoritmi Poissoni jaotuse korral. Kolmandas peatükis tutvustatakse mitmemõõtmelist adaptiivset regressioonisplaini ning algoritmi, kuidas selliseid mudeleid hinnatakse.

Töö teine pool sisaldab esimeses osas kirjeldatud meetodite rakendamist Eesti liikluskindlustuse andmetele. Mudelid sobitatakse kasutades logaritmseose-funktsiooni ning Poissoni ja negatiivse binoomjaotuse eeldusi. Peatükis kirjeldatakse R-i statistikapaketti `earth`, mille abil on võimalik MARSi mudeleid hinnata.

Magistritöö on vormistatud tekstitöötlusprogrammi L<sup>A</sup>T<sub>E</sub>Xveebiversioonis *Over-*

*leaf*. Andmete analüüsiks, mudelite sobitamiseks ja jooniste tegemiseks on kasutatud statistikatarkvara R versiooni 3.5.3.

Autor tänab juhendajaid Tõnis Maldret huvitava teema tõstatamise ja praktiliste nõuannete eest ning dotsent Meelis Käärikut toetava ja samaaegselt nõudliku suhtumise eest.

# 1 Üldistatud lineaarne mudel

Järgnev peatükk põhineb teostel „Generalized Linear Models” (McCullagh ja Nelder, 1989) ning „Introduction to Linear Models” (Montgomery jt., 2012). Selles peatükis antud tähistused kehtivad ka kõigis järgnevates peatükkides.

Olgu uuritavaks tunnuseks juhuslik suurus  $Y$ , mille jaotus kuulub jaotuste eksponentsialsesse perre. Üldistatud lineaarseks mudeliks nimetatakse mudelit, mis avaldub kujul

$$g[\mu(\mathbf{X})] = \eta(\mathbf{X}), \quad (1)$$

kus

$$\eta(\mathbf{X}) = \beta_0 + \sum_{j=1}^p \beta_j X_j, \quad (2)$$

- $\eta(\mathbf{X})$  on lineaarne prediktor,
- $j$  on argumenttunnuse indeks,  $p$  on argumenttunnuste arv,  $j = 1, \dots, p$ ,
- $X_j$  on juhuslik suurus, mis tähistab  $j$ -ndat argumenttunnust,
- $\mathbf{X}$  on juhuslike suuruste  $X_j$  vektor,  $\mathbf{X} = (X_1, X_2, \dots, X_p)$ ,
- $\beta_0, \beta_j$  on tundmatud parameetrid,  $j = 1, \dots, p$ ,
- $\mu(\mathbf{X})$  on uuritava tunnuse  $Y$  tinglik keskväärtus,  $\mu(\mathbf{X}) = E(Y|\mathbf{X})$ ,
- $g(\cdot)$  on seosefunktsioon.

Töös kasutatakse ka muutujat  $i$ , mis tähistab vaatluse indeksit. Vaatluste arvu tähistab  $N$ , seega  $i$  võimalikud väärised on  $i = 1, \dots, N$ .

Seosefunktsioniks nimetatakse funktsiooni, mille argumendiks on uuritava

tunnuse tinglik keskväärtus ning see funktsioon seob omavahel lineaarse prediktori ning tingliku keskväärtuse. Kõige enam kasutatud seosefunktsioonid on

- identsusseos, mille korral

$$g[\mu(\mathbf{X})] = \mu(\mathbf{X}), \text{ seega } \mu(\mathbf{X}) = \eta(\mathbf{X}),$$

- log-seos, mille korral

$$g[\mu(\mathbf{X})] = \ln \mu(\mathbf{X}), \text{ seega } \mu(\mathbf{X}) = e^{\eta(\mathbf{X})},$$

- logit-seos, mille korral

$$g[\mu(\mathbf{X})] = \ln \frac{\mu(\mathbf{X})}{1 - \mu(\mathbf{X})}, \text{ seega } \mu(\mathbf{X}) = \frac{e^{\eta(\mathbf{X})}}{1 + e^{\eta(\mathbf{X})}}.$$

Logit-seost kasutatakse juhul, kui uuritav tunnus on Bernoulli jaotusega  $Y \sim Be(\mu)$  ning soovitakse hinnata sündmuse esinemise tõenäosust, kuna logit-seose mudeli prognoosid on alati null ja ühe vahel. Log-seost kasutatakse sageli juhul, kui uuritavaks tunnuseks on loendusandmed, kuna log-seose rakendamisel on mudeli prognoosid alati mittenegatiivsed.

Üldistatud lineaarne mudel avaldub log-seose korral järgmiselt:

$$\ln[\mu(\mathbf{X})] = \beta_0 + \sum_{j=1}^p \beta_j X_j, \quad (3)$$

seega tinglik keskväärtus  $\mu(\mathbf{X})$  avaldub kujul

$$\mu(\mathbf{X}) = \exp(\beta_0 + \sum_{j=1}^p \beta_j X_j) = \exp(\beta_0) \cdot \prod_{j=1}^p \exp(\beta_j X_j). \quad (4)$$

Tuntuim jaotus loendusandmete modelleerimiseks on jaotuste eksponent-siaalsesse perre kuuluv Poissoni jaotus, mille tõenäosusfunktsioon avaldub kujul

$$f(y; \mu) = \frac{e^{-\mu} \mu^y}{y!},$$

kus  $y = 0, 1, 2, \dots$  ning parameeter  $\mu > 0$ .

Poissoni jaotuse korral on juhusliku suuruse  $Y$  keskväärtus ja dispersioon võrdsed jaotuse parameetriga,

$$EY = \mu \text{ ja } DY = \mu.$$

Kui mudeli sobitamisel kasutatakse Poissoni jaotuse eeldust, tuleb kontrollida, kas antud tingimus kehtib. Hajuvust kirjeldatakse sageli skaalaparameetri  $\varphi = DY/EY$  kaudu. Kui mudel on korrektne, siis  $\varphi \approx 1$ . Kui  $\varphi < 1$  ehk  $DY < EY$ , siis on tegemist alahajuvusega, vastupidisel juhul, kui  $\varphi > 1$  ehk  $DY > EY$ , on tegemist ülehajuvusega. Alahajuvuse esinemine pole oluline probleem, kuid ülehajuvusele tuleb tähelepanu pöörata. Ülehajuvus võib tekkida, kui Poissoni protsess toimub juhusliku pikkusega intervallis. Samuti võib esineda ülehajuvust, kui andmetes on liigselt nulle või nullid üldse puuduvad. Tugeva ülehajuvuse korral tuleks Poissoni jaotuse asemel kasutada teisi jaotusi.

Alternatiivina kasutatakse loendusandmete modelleerimisel negatiivset binoomjaotust, mille tõenäosusfunktsioon avaldub kujul

$$f(y; k, \pi) = \frac{\Gamma(k+y)}{y! \Gamma(k)} \pi^k (1-\pi)^y = \binom{k+y-1}{y} \pi^k (1-\pi)^y, \quad (5)$$

kus  $y = 0, 1, 2, \dots$ , parameetri  $\pi$  väärus on vahemikus  $0 < \pi < 1$  ja parameeter  $k > 0$  on täisarv. Juhuslikku suurust  $Y$  võib vaadelda kui ebaõnnestumiste arvu kuni  $k$ -nda õnnestumiseni Bernoulli protsessis ning  $\pi$  tähistab õnnestumise tõenäosust ühel katsel.

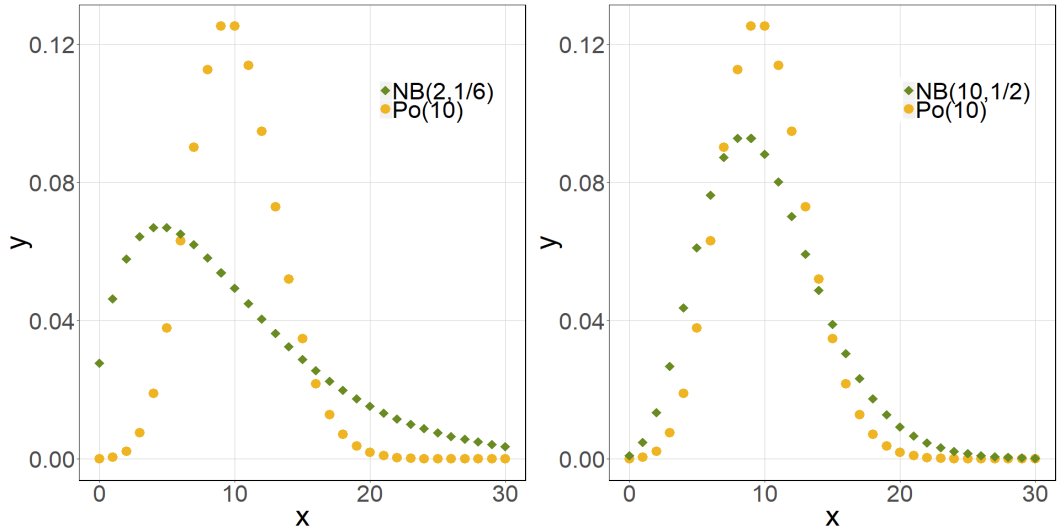
Negatiivse binoomjaotuse korral juhusliku suuruse  $Y$  keskväärtus avaldub kujul

$$EY = \mu = \frac{k(1-\pi)}{\pi}$$

ning dispersioon avaldub kujul

$$DY = \frac{k(1 - \pi)}{\pi^2} = \mu + \frac{\mu^2}{k}.$$

Negatiivse binoomjaotuse tõenäosusfunksioon on raskema sabaga kui Poissoni tõenäosusfunksioon ning nullide esinemise tõenäosus on suurem. Joonisel 1 on kujutatud Poissoni tõenäosusfunksiooni kollaste punktidega ja negatiivse binoomjaotuse tõenäosusfunksiooni roheliste rombidega. Kõigil juhtudel on keskväärtuseks  $\mu = 10$ . Vasakpoolsel joonisel on negatiivse binoomjaotuse parameetri  $k$  väärtsuseks 2 ning parempoolsel 10. Mida suurem väärus parameetrile  $k$  omistatakse, seda sarnasemaid tulemusi Poissoni jaotus ja negatiivne binoomjaotus annavad.



Joonis 1. Poissoni ja negatiivse binoomjaotuse tõenäosusfunksioonid,  $\mu = 10$

## 1.1 Üldistatud lineaarse mudeli hindamine

Üldistatud lineaarse mudeli hindamiseks kasutatakse suurima tõepära meetodit. Tõepärafunktsioon avaldub kujul

$$L(\boldsymbol{\beta}; \mathbf{y}) = \prod_{i=1}^N f_i(y_i; \boldsymbol{\beta}),$$

kus

- $y_i$  on juhusliku suuruse  $Y$  realisatsioon,
- $\mathbf{y} = (y_1, \dots, y_N)$  on juhusliku suuruse  $Y$  realisatsioonide vektor,
- $\boldsymbol{\beta}$  on hinnatavate parameetrite vektor,  $\boldsymbol{\beta} = (\beta_0, \beta_1, \dots, \beta_p)$ ,
- $f_i(y_i; \boldsymbol{\beta})$  on juhusliku suuruse  $Y$  tõenäosusfunktsioon.

Suurima tõepära meetodi eesmärk on leida parameetrite vääritud selliselt, et tõepärafunktsioon saavutab maksimaalse väärustuse. Kuna logaritmfunktsioon on monotoonne, siis log-tõepärafunktsioon saavutab maksimaalse väärustuse samas kohas kui tõepärafunktsioon. Seetõttu maksimeeritakse praktikas sageli tõepärafunktsiooni asemel log-tõepärafunktsiooni, mis avaldub kujul

$$l(\boldsymbol{\beta}; \mathbf{y}) = \ln L(\boldsymbol{\beta}; \mathbf{y}) = \ln \prod_{i=1}^N f_i(y_i; \boldsymbol{\beta}) = \sum_{i=1}^N \ln f_i(y_i; \boldsymbol{\beta}).$$

Olgu  $l_i(\boldsymbol{\beta}; y_i) = \ln f_i(y_i; \boldsymbol{\beta})$ , skoorifunktsioon on defineeritud kui

$$s(\boldsymbol{\beta}; \mathbf{y}) = \sum_{i=1}^N \frac{\partial l_i(\boldsymbol{\beta}; y_i)}{\partial \boldsymbol{\beta}}.$$

Maksimaalne tõepära saavutatakse siis, kui  $s(\boldsymbol{\beta}; \mathbf{y}) = 0$ . (Hastie jt., 2017, lk 265-267)

Kui eeldatakse, et juhuslik suurus  $Y$  on tinglikult Poissoni jaotusega, siis tõepärafunktsioon avaldub kujul

$$L(\boldsymbol{\beta}; \mathbf{y}) = \prod_{i=1}^N f_i(y_i; \boldsymbol{\beta}) = \prod_{i=1}^N \frac{e^{-\mu_i} \mu_i^{y_i}}{y_i!}$$

ning log-tõepärafunktsioon kujul

$$\begin{aligned} l(\boldsymbol{\beta}; \mathbf{y}) &= \sum_{i=1}^N \ln \frac{e^{-\mu_i} \mu_i^{y_i}}{y_i!} = \sum_{i=1}^N (-\mu_i + y_i \ln \mu_i - \ln(y_i!)) = \\ &= \sum_{i=1}^N y_i \ln \mu_i - \sum_{i=1}^N \mu_i - \sum_{i=1}^N \ln(y_i!) \end{aligned}$$

kus  $\mu_i = g^{-1}(\beta_0 + \sum_{j=1}^p \beta_j x_{ij})$  ja  $x_{ij}$  on suuruse  $X_j$  realisatsioon indeksiga  $i$ .  
(Montgomery jt., 2012, lk 445)

Negatiivse binoomjaotuse tõenäosusfunktsioon parameetritega  $\pi$  ja  $k$  on antud valemiga 5. Jaotuse keskväärtuse valemist  $\mu = \frac{k(1-\pi)}{\pi}$  järeltub  $\pi = \frac{k}{\mu+k}$ , seega valimi tõepärafunktsiooni saab avaldada kujul

$$L(\boldsymbol{\beta}, k; \mathbf{y}) = \prod_{i=1}^N \frac{\Gamma(k+y_i)}{y_i! \Gamma(k)} \left( \frac{\mu_i}{k} + 1 \right)^{-k} \left( 1 + \frac{k}{\mu_i} \right)^{-y_i}$$

ning log-tõepärafunktsioon on sellisel juhul

$$\begin{aligned} l(\boldsymbol{\beta}, k; \mathbf{y}) &= \sum_{i=1}^N \ln \left[ \frac{\Gamma(k+y_i)}{y_i! \Gamma(k)} \left( \frac{\mu_i}{k} + 1 \right)^{-k} \left( 1 + \frac{k}{\mu_i} \right)^{-y_i} \right] = \\ &= \sum_{i=1}^N \left[ \ln \Gamma(k+y_i) - \ln \Gamma(k) - \ln(y_i!) - k \ln \left( \frac{\mu_i}{k} + 1 \right) - y_i \ln \left( 1 + \frac{k}{\mu_i} \right) \right]. \end{aligned}$$

Kuna tõepärafunktsioon sisaldab lisaks  $\mu_i$ -le ka parameetrit  $k$ , siis tuleb hinnangud leida nii kordajatele  $\boldsymbol{\beta}$  kui ka parameetrile  $k$ . Olgu  $\boldsymbol{\theta} = (\beta_0, \dots, \beta_p, k)$ . Negatiivse binoomjaotuse korral saavutatakse maksimaalne tõepära, kui skoorifunktsioon  $s(\boldsymbol{\theta}; \mathbf{y}) = 0$ .

## 2 Üldistatud aditiivne mudel

Üldistatud aditiivne mudel on edasiarendus üldistatud lineaarsest mudelist. Sarnaselt lineaarsele mudelile kehtib aditiivsus, kuid erinevus seisneb selles, et üldistatud aditiivse mudeli korral on võimalik igale argumenttunnusele rakendada mitte-lineaarseid funktsioone. Üldistatud aditiivset mudelit on võimalik rakendada nii kvalitatiivsele kui ka kvantitatiivsele uuritavale tunnusele. (James jt., 2017, lk 282)

Üldistatud aditiivse mudeli korral on uuritava tunnuse tinglik keskväärtus seotud aditiivse prediktoriga seosefunktsiooni abil. Mudeli üldkuju avaldub järgmiselt:

$$g[\mu(\mathbf{X})] = \beta_0 + \sum_{j=1}^p f_j(X_j) = \beta_0 + f_1(X_1) + f_2(X_2) + \dots + f_p(X_p), \quad (6)$$

kus  $f_j$ ,  $j = 1, \dots, p$  on sile mitteparametrikeline funktsioon,  $\beta_0 + \sum_{j=1}^p f_j(X_j)$  on aditiivne prediktor ning ülejää nud tähistused on defineeritud peatükis 1. Funktsiooni nimetatakse siledaks, kui see on määramispiirkonnas lõpmatult diferentseeruv ning mistahes järku tulevis on pidev. (Hastie jt., 2017, lk 296-297)

### 2.1 Aditiivse mudeli hindamine

Käesoleva peatüki aluseks on teos „Generalized Additive Models: Some Applications” (Hastie ja Tibshirani, 1987, lk 372-373).

Mittelineaarsete efektide modelleerimise aluseks on hajuvusdiagrammi silu-

jad. Silumisfunktsioon on selline funktsioon, mis annab tulemuseks funktsiooni  $f$  hinnangu  $\hat{f}$ . Silumisfunktsioon tuleb enne mudeli hindamist fikseerida.

Olgu meil identsusseos  $g[\mu(\mathbf{X})] = \mu(\mathbf{X})$ , siis aditiivne mudel on kujul

$$\mu(\mathbf{X}) = \beta_0 + \sum_{j=1}^p f_j(X_j). \quad (7)$$

Sellise aditiivse mudeli hindamiseks kasutatakse üldist *backfitting* algoritmi. Aditiivse mudeli hindamise eesmärk tuleb tinglikust keskväärtusest. Korrektse mudeli korral kehtib

$$E\left(Y - \beta_0 - \sum_{j \neq k} f_j(X_j) \mid X_k\right) = f_k(X_k) \quad \forall k, k = 1, \dots, p.$$

*Backfitting* algoritm leiab lahendi sellisele võrrandisüsteemile iteratiivselt. Igal tsükli sammul asendatakse tinglik osajääkide keskväärtus ühemõõtmelise silujaga.

Sageli kasutatakse silumisfunktsionina kuupsplaini silujat. *Backfitting* algoritm langeb sellisel juhul kokku karistatud vähimruutude meetodiga (*penalized least squares method*), kus minimeeritakse suurust

$$\sum_{i=1}^N \left( y_i - \sum_{j=1}^p f_j(x_{ij}) \right)^2 + \sum_{j=1}^p \lambda_j \int f_j''(t_j)^2 dt_j, \quad (8)$$

kus  $\lambda_j \geq 0$  on silumisparameeter,  $y_1, y_2, \dots, y_N$  on valimi väärised uritava tunnuse kohta ning  $x_{1j}, x_{2j}, \dots, x_{Nj}$  on valimi väärised  $j$ -nda seletava tunnuse kohta,  $j = 1, \dots, p$ .

Esmalt leitakse vabaliikme  $\beta_0$  hinnang, milleks on valimi vääruste  $y_1, \dots, y_N$  aritmeetiline keskmene ning see mudeli hindamise protsessis rohkem ei muudu. Tsükli esimesel sammul leitakse  $y_i$  osajäägid  $e_i$  iga  $j = 1, \dots, p$  korral, et eemaldada kõigi teiste tunnuste mõju uritavale tunnusele. Teisel sammul rakendatakse silujat  $\mathcal{S}$  osajääkidele  $e_i$  iga  $j = 1, \dots, p$  korral, et hinnata  $j$ -nda

---

**Algoritm 1** *Backfitting* algoritm (Hastie ja Tibshirani, 1987, lk 373)

---

**Samm 1.** Olgu  $\hat{\beta}_0 = \frac{1}{N} \sum_{i=1}^N y_i$ ,  $\hat{f}_j^{(0)}(x_j) = 0 \forall x_j, \forall j, j = 1, \dots, p, r = 0$ .

**Samm 2.** Iga  $j = 1, \dots, p$  korral leiame osajäägid

$$e_{ij} = y_i - \hat{\beta}_0 - \sum_{\substack{k=1 \\ k \neq j}}^p \hat{f}_k^{(r)}(x_{ik}), i = 1, \dots, N$$

ning seejärel leiame hinnangu

$$\hat{f}_j^{(r+1)}(x_j) = \mathcal{S}[e_{1j}, e_{2j}, \dots, e_{Nj}].$$

**Samm 3.** Kui  $\|f_j^{(r+1)} - f_j^{(r)}\| < \delta$ , siis lõpetame, vastasel juhul  $r = r + 1$   
ning liigume sammu 2.

---

tunnuse mõju uuritavale tunnusele. Kuna teiste tunnuste mõju uuritavale tunnusele pole esialgu täpselt teada, toimub hindamine iteratiivselt. Tsükkel lõppeb siis, kui erinevus funktsioonide vahel on väiksem kui etteantud lävend  $\delta$ .

## 2.2 Üldistatud aditiivse mudeli hindamine

See peatükk toetub R. Tibshirani ja T. Hastie teosele „Generalized Additive Models”. Eelnevas peatükis tutvustatud *backfitting* algoritmist piisab juhul, kui üldistatud aditiivse mudeli korral kasutatakse seosefunktsioonina identsusseost. Loobume sellest eeldusest ning olgu nüüd mudel taas üldkujul, mis on antud valemiga 6, tähistame

$$g[\mu(\mathbf{X})] = \beta_0 + \sum_{j=1}^p f_j(X_j).$$

Üldistatud aditiivse mudeli hindamiseks kasutatakse lokaalskooringu protseduuri. Algoritm 2 kirjeldatakse lokaalskooringu algoritmi Poissoni jaotuse

eelduse ning log-seose korral. Algoritmis kasutatakse kaalutud *backfitting* algoritmi, mis tähendab, et kasutatav silumisfunktsioon peab olema selline, mis võtab arvesse vaatluste kaale.

---

**Algoritm 2** Lokaalskooringu algoritm Poissoni jaotuse ja log-seose korral (Hastie ja Tibshirani, 1990, lk 139-141)

---

**Samm 1.** Olgu  $\hat{\beta}_0 = g\left[\frac{1}{N} \sum_{i=1}^N y_i\right]$ ,  $\hat{f}_j^{(0)}(x_j) = 0 \forall x_j, \forall j, j = 1, \dots, p, r = 0$ .

**Samm 2.** Defineerime  $\hat{\eta}^{(r)}(x_1, \dots, x_p) = \hat{\beta}_0 + \sum_{j=1}^p \hat{f}_j^{(r)}(x_j)$  ja  
 $\hat{\mu}^{(r)}(x_1, \dots, x_p) = \exp(\hat{\eta}^{(r)}(x_1, \dots, x_p))$ .

**Samm 2.1.** Konstrueerime kohandatud muutuja ning leiame selle väärised  $z_i$  realiseerunud valimi väärustete  $x_{i1}, \dots, x_{ip}$  põhjal,  $i = 1, \dots, N$ ,

$$z_i = \hat{\eta}^{(r)}(x_{i1}, \dots, x_{ip}) + \frac{y_i - \hat{\mu}^{(r)}(x_{i1}, \dots, x_{ip})}{\hat{\mu}^{(r)}(x_{i1}, \dots, x_{ip})}, i = 1, \dots, N.$$

**Samm 2.2.** Moodustame kaalud  $w_i, i = 1, \dots, N$ ,

$$w_i = \hat{\mu}^{(r)}(x_{i1}, \dots, x_{ip}), i = 1, \dots, N. \quad (9)$$

**Samm 2.3.** Hindame kaalutud *backfitting* meetodiga aditiivse mudeli kohandatud tunnuse  $z_i$  jaoks kasutades kaale  $w_i, i = 1, \dots, N$ , tulemuseks on hinnangud  $\hat{f}_j^{(r+1)} \forall j, j = 1, \dots, p$ .

**Samm 2.4.** Arvutame koondumiskriteeriumi

$$\Delta(\eta^{(r+1)}, \eta^{(r)}) = \frac{\sum_{j=1}^p \| f_j^{(r+1)} - f_j^{(r)} \|}{\sum_{j=1}^p \| f_j^{(0)} \|}.$$

**Samm 2.5.** Kui  $\Delta(\eta^{(r+1)}, \eta^{(r)}) < \delta$ , siis lõpetame, vastasel juhul  $r = r + 1$  ning liigume sammu 2.

---

### 3 Mitmemõõtmeline adaptiivne regressioonisplain

See peatükk põhineb T. Hastie, R. Tibshirani ja J. Friedmani teosel „The Elements of Statistical Learning: Data Mining, Inference and Prediction”. Mitmemõõtmeline adaptiivne regressioonisplain ehk MARS (*Multivariate Adaptive Regression Splines*) on regressioonanalüüs vorm. Idee poolest sarnaneb see üldistatud aditiivsele mudelile, kuna argumenttunnustele rakendatakse teatud tüüpi funktsioone. Nii üldistatud aditiivset mudelit kui ka MARSi mudelit kasutatakse mittelineaarsuste modelleerimiseks. Mitmemõõtmelist adaptiivset regressioonisplaini saab rakendada nii mitteparameetrisel kui ka parameetrisel viisil.

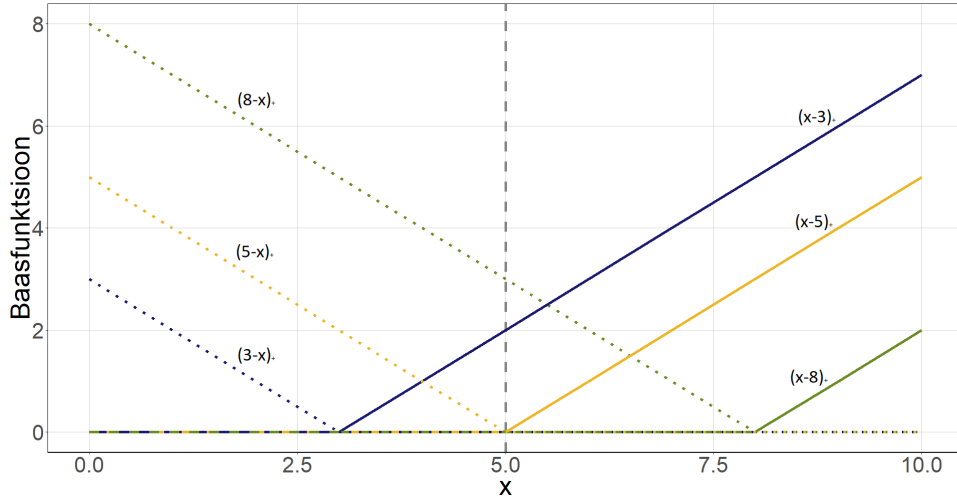
Mitmemõõtmeline adaptiivne regressioonisplain koosneb tükkiti lineaarsetest funktsionidest  $h_1(x) = (x - t)_+$  ning  $h_2(x) = (t - x)_+$ , mis on defineeritud kujul

$$(x - t)_+ = \max\{0, x - t\} = \begin{cases} x - t, & \text{kui } x > t \\ 0, & \text{vastasel juhul,} \end{cases} \quad (10)$$

$$(t - x)_+ = \max\{0, t - x\} = \begin{cases} t - x, & \text{kui } x < t \\ 0, & \text{vastasel juhul.} \end{cases} \quad (11)$$

Funktsioone  $(x - t)_+$  ja  $(t - x)_+$  nimetatakse baasfunktsionideks ning punkti  $t$  nimetatakse baasfunktsiooni sõlmeks. Samast sõlmest moodustunud kahte baasfunktsiooni nimetatakse peegeldatud funktsionipaariks. Joonisel 2 on

kujutatud peegeldatud funktsionipaare erinevate sõlmede väärustega,  
 $t \in \{3, 5, 8\}$ .



Joonis 2. MARSi baasfunktsioonid

MARSi idee on moodustada peegeldatud funktsionipaarid igast argumenttunnusest  $X_j$  sõlmedega  $x_{ij}$ ,  $j = 1, \dots, p$ ,  $i = 1, \dots, N$ , kus  $x_{ij}$  on tunnuse  $X_j$  realiseerunud väärused. Sellised funktsionid moodustavad hulga

$$\mathcal{C} = \{(X_j - t)_+, (t - X_j)_+\}, t \in \{x_{1j}, \dots, x_{Nj}\}, j = 1, \dots, p.$$

Kokku on  $p$  argumenttunnust, unikaalseid sõlmi iga argumenttunnuse korral on maksimaalselt  $N$  ning iga sõlme korral tekib kaks baasfunktsiooni, see-ga hulgas  $\mathcal{C}$  on maksimaalselt  $2Np$  baasfunktsiooni. Kui mudel on rangelt aditiivne, siis funktsioon  $h_m(\mathbf{X})$  tähistab funktsiooni hulgast  $\mathcal{C}$ . Kui mudelis on lubatud ka koosmõjud, siis funktsioon  $h_m(\mathbf{X})$  tähistab hulgast  $\mathcal{C}$  ühte funktsiooni või mitme funktsiooni korrutist. Olgu  $M$  mudelisse kaasatud funktsioonide  $h_m(\mathbf{X})$  arv ning  $h_0(\mathbf{X}) = 1$ , seega kokku on mudelis  $M+1$  hinnatavat parameetrit. MARSi mitteparameetrilise vormi korral on mudel

kujul

$$f(\mathbf{X}) = \sum_{m=0}^M \beta_m h_m(\mathbf{X}) = \beta_0 + \sum_{m=1}^M \beta_m h_m(\mathbf{X}) \quad (12)$$

ning parameetrilise vormi korral on mudel kujul

$$g[\mu(\mathbf{X})] = \beta_0 + \sum_{m=1}^M \beta_m h_m(\mathbf{X}). \quad (13)$$

### 3.1 MARSi mudeli hindamine

Käesolev peatükk põhineb T. Hastie, R. Tibshirani ning J. Friedmani teosel „The Elements of Statistical Learning: Data Mining, Inference, and Prediction”.

MARSi mudeli hindamine on idee poolest sarnane kasvava valikuga samm-regressioonile, kuid algkujul argumenttunnuste asemel kaastakse mudelisse peegeldatud funktsionipaare hulgast  $\mathcal{C}$ . Kordajate hinnangud  $\hat{\beta}_m$  saadakse mitteparameetrisel juhul vähimruutude meetodil ning parameetrisel juhul suurima tõepära meetodil.

Olgu mudelisse kuuluvate funktsionide  $h_m(\mathbf{X})$  hulk  $\mathcal{M}$ , kuhu esialgu kuulub vaid funktsioon  $h_0(\mathbf{X}) = 1$ , seega  $\mathcal{M} = \{h_0(\mathbf{X})\}$ . Igal sammul lisatakse mudelisse üks peegeldatud funktsionipaar ning seetõttu kasvab hulk  $\mathcal{M}$  igal sammul kahe võrra. Kumbki funktsioon lisatakse mudelisse korrutisena, kus üheks teguriks on lisatav baasfunktsioon ning teiseks teguriks on funktsioon hulgast  $\mathcal{M}$ , kusjuures kummagi korrutise puhul on teine tegur samasugune. Rangelt aditiivsel juhul on alati teiseks teguriks  $h_0(\mathbf{X}) = 1$ .

---

**Algoritm 3** MARS mudeli hindamine mitteparameetrilisel juhul (Hastie jt., 2017, lk 321-326)

---

**Samm 1.** Olgu  $\hat{f}(\mathbf{X}) = \hat{\beta}_0$ ,  $\hat{\beta}_0 = \frac{1}{N} \sum_{i=1}^N y_i$ ,  $\mathcal{M} = \{h_0(\mathbf{X})\}$ ,  $M = 0$ ,  $r = 1$ .

**Samm 2.** Olgu  $RSS_r = \infty$

**Samm 2.1.** Iga  $i = 1, \dots, N$ ,  $j = 1, \dots, p$  ja  $\ell = 1, \dots, M$  korral vaatame mudelit kujul

$$f(\mathbf{X}; \boldsymbol{\beta}) = \sum_{m=0}^M \beta_m h_m(\mathbf{X}) + \beta_{M+1} h_\ell(\mathbf{X}) \cdot (X_j - x_{ij})_+ + \beta_{M+2} h_\ell(\mathbf{X}) \cdot (x_{ij} - X_j)_+$$

ning lahendame järgmise minimeerimiseülesande:

$$\min_{\boldsymbol{\beta}} \sum_{k=1}^N \left( y_k - f(x_{k1}, x_{k2}, \dots, x_{kp}; \boldsymbol{\beta}) \right)^2.$$

Saadud lahendi  $\hat{\boldsymbol{\beta}} = (\hat{\beta}_0, \hat{\beta}_1, \dots, \hat{\beta}_{M+2})$  korral leiame

$$RSS_{ij\ell} = \sum_{k=1}^N \left( y_k - f(x_{k1}, x_{k2}, \dots, x_{kp}; \hat{\boldsymbol{\beta}}) \right)^2.$$

Kui  $RSS_{ij\ell} < RSS_r$ :

$$h_1^*(\mathbf{X}) = h_\ell(\mathbf{X}) \cdot (X_j - x_{ij})_+$$

$$h_2^*(\mathbf{X}) = h_\ell(\mathbf{X}) \cdot (x_{ij} - X_j)_+$$

$$RSS_r = RSS_{ij\ell}$$

**Samm 2.2.** Lisame  $h_1^*(\mathbf{X})$  ja  $h_2^*(\mathbf{X})$  hulka  $\mathcal{M}$ ,  $M = M + 2$ .

**Samm 2.3.** Kui  $M \geq M_{max}$ , siis lõpetame, vastasel korral  $r = r + 1$  ja liigume sammu 2.

---

Koosmõjude lubamisel mudelisse kehtivad mõned piirangud. Teiseks teguriks ei sobi funktsioonid, mis sisaldavad juba sama argumenttunnust, millel antud peegeldatud funktsioonipaar põhineb. Kui mudelisse on lubatud kuni  $q$ -ndat

järku koosmõjud, siis teiseks teguriks saab olla vaid funktsioon, mis omakorda koosneb maksimaalselt  $(q-1)$ -st erinevast tegurist (mis ei ole võrdsed ühega).

Iga peegeldunud funktsionipaari ja võimaliku teguri hulgast  $\mathcal{M}$  korral leitakse jäälkide ruutude summa ning kõige väiksema jäälkide ruutude summa taganud korrutised lisatakse hulka  $\mathcal{M}$ . Parameetrilisel juhul otsitakse maksimaalse töepärafunktsiooni väärtsuse taganud funktsionide korrutist. Tsükkel kestab seni, kuni hulgas  $\mathcal{M}$  on etteantud arv  $M_{max}$  funktsioone.

Selguse mõttes esitame näite algoritmi põhimõttest, kus mudelisse lubatakse kaasata esimest järku koosmõjusid. Lõpetame tsükli, kui hulgas  $\mathcal{M}$  on viis elementi ehk  $M = 4$ . Kuna esialgu on selles hulgas vaid konstantne funktsioon, siis tsükli esimesel sammul saab olla  $h_\ell(\mathbf{X})$  väärtsuseks vaid  $h_\ell(\mathbf{X}) = 1$  ning seetõttu hindame mudelit kujul

$$f(\mathbf{X}) = \beta_0 + \beta_1(X_j - t) + \beta_2(t - X_j).$$

Oletame, et minimaalse jäälkide ruutude summa tagavad korrutised  $h_1^*(\mathbf{X}) = (X_4 - 1)_+$  ning  $h_2^*(\mathbf{X}) = (1 - X_4)_+$ , seega hulga  $\mathcal{M}$  elementideks on nüüd  $\mathcal{M} = \{h_0(\mathbf{X}), h_1(\mathbf{X}), h_2(\mathbf{X})\} = \{1, (X_4 - 1)_+, (1 - X_4)_+\}$  ning  $M = 2$ . Tsükli teisel sammul hindame mudelit kujul

$$f(\mathbf{X}) = \beta_0 + \beta_1(X_4 - 1)_+ + \beta_2(1 - X_4)_+ + \beta_3 h_\ell(\mathbf{X}) \cdot (X_j - t)_+ + \beta_4 h_\ell(\mathbf{X}) \cdot (t - X_j)_+,$$

kus  $h_\ell(\mathbf{X})$  on üks kolmest funktsionist:

$$\begin{aligned} h_\ell(\mathbf{X}) &= 1, \\ h_\ell(\mathbf{X}) &= (X_4 - 1)_+, \\ h_\ell(\mathbf{X}) &= (1 - X_4)_+ \end{aligned}$$

Oletame nüüd, et parima mudeli saame juhul, kui  $h_\ell(\mathbf{X}) = (X_4 - 1)_+$  ning baasfunktsionideks on  $(X_9 + 5)_+$  ning  $(-5 - X_9)_+$ . Lisame hulka  $\mathcal{M}$  funktsioonid  $h_1^*(\mathbf{X}) = (X_4 - 1)_+ \cdot (X_9 + 5)_+$  ja  $h_2^*(\mathbf{X}) = (X_4 - 1)_+ \cdot (-5 - X_9)_+$ .

Nüüd on  $M = 4$  ehk hulgas  $\mathcal{M}$  on viis elementi ning lõpetame tsükli. Seega hinnatud mudel avaldub kujul

$$\begin{aligned}\hat{f}(\mathbf{X}) = & \hat{\beta}_0 + \hat{\beta}_1(X_4 - 1)_+ + \hat{\beta}_2(1 - X_4)_+ + \\ & + \hat{\beta}_3(X_4 - 1)_+ \cdot (X_9 + 5)_+ + \hat{\beta}_4 h(X_4 - 1)_+ \cdot (-5 - X_9)_+.\end{aligned}$$

Sellise tsükli tulemuseks on sageli ületreenitud mudel, mistõttu tuleb rakendada tagasivaatelist funktsioonide eemaldamist. Kui mudeli hindamise esimeses etapis lisatakse funktsioone mudelisse paarikaupa, siis teises etapis hinnatakse iga funktsiooni olulisust mudelis eraldi. Funktsioon, mille eemaldamisel jäädikide ruutude summa kasvab kõige väiksemal määral, jäetakse mudelist kõrvale. Selliselt leitakse iga  $\ell = 0, 1, \dots, M$  kohta parim mudel, kus  $\ell$  on mudelisse kaasatud funktsioonide  $h_m(\mathbf{X})$  arv.

Viimases etapis tuleb hinnata, mitmest funktsionist  $h_m(\mathbf{X})$  koosnev mudel annab parima tulemuse. Selleks võib kasutada harilikku ristvalideerimist kui ka üldistatud ristvalideerimist.

Üldistatud ristvalideerimisel leitakse iga  $\ell$  korral suurus

$$GCV(\ell) = \frac{\sum_{i=1}^N (y_i - \hat{f}_\ell(x_{i1}, x_{i2}, \dots, x_{ip}))^2}{\left(1 - \frac{M(\ell)}{N}\right)^2}, \quad (14)$$

kus  $M(\ell) = r + cK$ ,  $r$  on hinnatavate parameetrite arv mudelis,  $K$  on mudelisse kaasatud sõlmede arv ning  $c$  on karistusparameeter. Kui mudel on rangelt aditiivne ehk mudelis ei ole baasfunktsioonide korrutisi, siis karistusparameetri väärtsuseks on  $c = 2$ , vastasel juhul on  $c = 3$ . Tulemuseks on mudel  $f_\ell(\mathbf{X})$ , mille korral  $GCV(\ell)$  on kõige väiksem.

## **4 Liikluskindlustuse kahjusageduse hindamine**

### **4.1 Andmestik**

Andmestik koosneb Eesti liikluskindlustuse ületuruandmete valimist. Valimisse kuuluvad liikluskindlustuste katted, mille kehtivuse algus jäääb vahe- mikku 01.01.2015-31.12.2017. Lisaks kehtivad katete kohta järgnevad tingimused:

- sõiduki kategooria on M1 (sõiduauto),
- sõiduk on arvel autoregistris,
- sõiduki kindlustuskohustuslik isik on eraisik,
- katteklass on tavapärane,
- katte tüüp on poliis,
- kindlustuse kehtinud päevade arv on positiivne.

Magistritöö jaoks on moodustatud sellistele tingimustele vastavatest koguturuandmetest lihtsa tagasipanekuta juhusliku valiku meetodil valim, mis moodustab 5% üldkogumist. Andmestiku suurus on 138 642 katet. Esmases andmestikus on järgnevad tunnused: toimunud kahjude arv, katte alguse aasta, teenitud kindlustuspäevade arv, kindlustusvõtja isikukoodi kolm esimest numbrit, sõiduki võimsus, registrimass, keretüüp, kütus ning sõiduki esmase registreerimise aasta.

#### **4.1.1 Andmestiku korrastamine**

Andmestikus on esindatud 13 erinevat keretüüpi, mis on välja toodud tabelis 1. Selle tabeli põhjal võib väita, et levinumad keretüübhid on luukpära, sedaan, mahtuniversaal ning universaal. Teiste keretüüpidega katteid on oluliselt vähem ning mitme gruvi korral pole tekkinud ühtegi õnnetusjuhtumit. Mitmed andmestikus esinevad keretüübhid pole sõiduautode puhul tavapärased, näiteks limusiin ja võistlusauto, kuigi katte klass määrab sõiduki kategooriaks sõiduauto. Sellel põhjusel kaasame mudeli treenimise andmestikku vaid need katted, mille korral on keretüüp kuulub levinumate keretüüpide hulka.

Tabel 1. Katete sagedus ja kahjude arv keretüübi põhjal

Keretüüp	Sagedus	Kahjude arv
Buss	1	0
Elamu	152	2
Kaubik	3	0
Kupee	1 905	34
Lahtine	686	5
Limusiin	16	0
Luukpära	32 451	666
Mahtuniversaal	15 921	354
Pikap	4	0
Sedaan	41 625	859
Sihtotstarbeline	18	1
Universaal	45 828	905
Võistlusauto	32	0

Andmestikus leidub seitse erinevat kütusetüüpi. Levinumate keretüüpidega katete seas leidub viis katet, mille korral on kütusetüübiks märgitud diisel-

hübriid ning ühegi sellise katte puhul kahju ei tekkinud. Seetõttu on diisel-hübriidi kütusetüübiga katted treeningandmestikust välja jäetud. Levinumate keretüüpidega katete seas leidub kate, mille korral on märgitud mootori võimsuseks seitse kilovatti. Kuna see vaatlus erineb ülejääanud katetest ning nii madal võimsus pole sõiduautodele tavapärane, jätame ka selle katte andmestikust välja.

Levinumad katte kehtivuse pikkused on üks, kolm, kuus kuud ning üks aasta. Andmestikus leidub katteid, mille pikkus on lühem kui üks päev. Sellised katted on andmestikust kõrvale jäetud.

Kindlustusvõtja isikukoodi kolme esimese numбри põhjal on võimalik leida isiku sugu ja vanus katte alguse aastal. Need katted, mille korral numbrite asemel esineb muid sümboleid, jätame valimist välja. Samuti leidub katteid, kus arvutatud vanus on äärmuslik ning seega kuuluvad andmestikku vaid katted, mille korral kindlustusvõtja vanus katte alguse aastal oli vahemikus 18 – 85.

Sõiduki esmase registreerimise aasta põhjal arvutame sõiduki vanuse katte alguse aastal. Kõige vanem kindlustatud auto oli kindlustuskatte alguse aastal 77 aastat vana. Väga vanad autod võivad käituda kindlustuskahjude suhtes erinevalt võrreldes uuemate autodega ning seetõttu on andmestikku jäetud vaid katted, mille kehtivuse alguse aastal oli sõiduki vanuseks kuni 25 aastat.

Löplikku andmestikku kuulub 130 990 katet. Saadud andmestikust eraldame 30% testandmestikuks ning ülejääanud katteid kasutame mudeli treenimiseks. Seega treeningandmestiku maht on 91 650 katet ning testandmestikku kuulub 39 340 katet. Ülevaate puhasstatud andmetest leiab tabelist 2.

Tabel 2. Tunnuste kirjeldus

Tunnus	Kirjeldus	Miini-mum	Maksi-mum	Kesk-mine	Standard-hälve
loss_count	kindlustuskahjude arv	0	4	0,021	0,149
days	teenitud kindlustuspäevade arv	1	366,7	138,5	119,4
gender	kindlustusvõtja sugu: - mees (66,7%), 1 - naine (33,3%)				
person_age	kindlustusvõtja vanus aastates katte alguse aastal	18	85	44,0	14,2
vehicle_engine_power	sõiduki mootori võimsus (kW)	28	430	96,3	32,6
vehicle_reg_mass	sõiduki registrimass (kg)	1 040	4 218	1 946	300
vehicle_frame_type	sõiduki keretüüp: luukpära (24,0%), mahtuniversaal (12,0%), sedaan (29,6%), universaal (34,4%)				
cl_vehicle_fuel	sõiduki kütuse tüüp: benesiin (0,8%), diisel (39,3%), benesiin-hübriid (0,4%), benesiin-kat (59,3%), elekter (0,1%), surugaas (0,1%)				
vehicle_age	sõiduki vanus katte alguse aastal	0	25	12,0	6,1

## 4.2 R-i pakett `earth`

Selles peatükis tutvustatakse R-i dokumentatsiooni põhjal statistikapaketti „*Multivariate Adaptive Regression Splines*” (Milborrow, 2019). Pakett `earth` põhineb funktsioonil `mars`, mis asub paketis `mda` ning mille autorid on Trevor Hastie ning Robert Tibshirani. Selle töö raames on eelistatud paketti `earth`, kuna selles paketis on implementeeritud oluliselt rohkem mudeliga seonduvaid funktsioone ning hinnatud mudeli tulemusi on võimalik väljastada kasutajasõbralikumal kujul kui paketis `mda`.

Järgnevalt tutvustame lähemalt funktsiooni `earth`, mille abil on võimalik hinnata mitmemõõtmelisi adaptiivseid regressioonisplaine. Selle funktsiooni olulisemad argumendid on:

- `formula` - määrab mudeli sõltuva tunnuse ning argumenttunnused;
- `degree` - maksimaalne baasfunktsionide arv, milles  $h_m(X)$  koosneda võib (vaikimisi `degree=1`);
- `nk` - maksimaalne funktsionide  $h_m(X)$  arv mudelis;
- `thresh` - lävend, mille saavutamisel edasivaateline tsükkel lõppeb (vaikimisi `thresh=0.001`)
- `penalty` - karistusparameeter  $c$  (vaikimisi `penalty=2`, kui `degree=1`, muidu `penalty=3`);
- `prune` - väärтuseks `TRUE`, kui soovitakse teostada tagasivaatelist funktsioonide eemaldamist, `FALSE` vastasel juhul (vaikimisi väärтuseks `TRUE`)
- `glm` - võimalik hinnata üldistatud lineaarne mudel, milleks tuleb määrata jaotus- ning seosefunktsioon.

Loendusandmete puhul on võimalik kasutada Poissoni jaotust. Kuna kahjude

hulka on mõistlik hinnata ajaühiku kohta, siis `formula` osas on võimalik anda ette lepingu kestus märksõnaga `offset()`.

### 4.3 Tulemused

Mudelite hindamisel peame silmas, et lõpptulemus oleks loogiliselt selgittav ning võimalikult lihtne interpreteerida. Nendel põhjustel on mudelitesse kaasatakse ainult esimest järu koosmõjusid. Üldistatud lineaarsete mudelite korral kasutatakse olulisusnivoona  $\alpha = 0,05$  ning mudelid luuakse tagasivaatelise sammregressiooni abil. Mudelitesse jäetakse alles vaid tunnused, mis on antud olulisusnivool statistiliselt olulised.

Kõikides mudelites kasutame seosefunktsioonina logaritmfunktsiooni ning anname mudelites ette `offset= ln(days)`, kus tunnus *days* määrab, millise ajaühiku jooksul kahjude arvu vaadeldi. Seega saame tulemuseks mudelid, mis prognoosivad kahjude arvu päevas. Pidevad tunnused kaasatakse mudelisse logaritmteisendustena, kuna siis on argumenttunnused samal skaalal kui uuritav tunnus. Teose „Generalized Linear Models for Insurance Rating” autorid väidavad, et log-seose korral peaks pideva tunnuse logaritmitud vormi käsitelema kui algset vormi ning logaritmimata väärust kui teisendatud kuju, mida on mõistlik kasutada vaid erijuhtudel (Goldburd jt., 2016, lk 11-12).

Mudeli headust hindame Akaike informatsionikriteeriumi alusel, mis avaldub valemina

$$AIC = -2 \ln L + 2k,$$

kus  $\ln L$  on treenitud mudeli logaritmiline töepära ning  $k$  on parameetrite arv mudelis. Kuna katsetatavad mudelid ei ole kõik omavahel hierarhilised, kasutame paariviisiliseks võrdlemiseks Vuongi testi. Test põhineb mudelite prognoosidel ning sisukas hüpotees väidab, et üks mudelitest on teisest parem

(Jackman, 2017). Lisaks leiame testandmestikul iga mudeli korral jäækide ruutude summad, mille alusel hindame mudeli prognoosivõimet.

Esmalt hindame üldistatud lineaarse mudeli, kus uuritava tunnuse tinglikuks jaotuseks eeldame Poissoni jaotust. Sellise eeldusega mudeli sobitamisel ei olnud ükski esimest järku koosmõju oluline ning seeõttu koosneb mudel vaid peamõjudest. Parimas Poissoni mudelis mõjutab kindlustuskahjude sagedust katte kehtivuse pikkus, sõiduki registrimass, vanus ja kütusetüüp, kindlus-tusvõtja sugu ja vanus. Programmi R väljundi leiab lisast 1 ning mudel avaldub kujul

$$\begin{aligned}
 \frac{\text{loss\_count}}{\text{days}} = & \exp(-10,59 - 0,0025 \cdot \text{days} + 0,51 \cdot \ln(\text{vehicle\_reg\_mass}) + \\
 & + 0,61 \cdot I[\text{cl\_vehicle\_fuel} \in \{\text{bensiin} - \text{hübrid}, \text{surugaas}\}] + \\
 & + 1,35 \cdot I[\text{cl\_vehicle\_fuel} = \text{elekter}] + \\
 & - 0,013 \cdot \text{vehicle\_age} + 0,14 \cdot I[\text{gender} = 1] + \\
 & - 0,058 \cdot \text{person\_age} + 0,00054 \cdot \text{person\_age}^2).
 \end{aligned} \tag{15}$$

Kuna Poissoni jaotuse korral on teoreetiline keskväärtus ja dispersioon oma-vahel võrdsed, siis tuleb selle mudeli korral kontrollida ka hajuvust. Korrektse mudeli korral on nii hälbitmuse vigade kui ka Pearsoni vigade põhjal leitud skaalaparameetri hinnangud ligikaudu võrdsed ühega. Antud mudeli korral on hälbitmuse vigade põhjal leitud skaalaparameetri hinnang  $\varphi_D = 0,16$ , Pearsoni jäækide põhjal leitud hinnang on  $\varphi_P = 1,26$ . Hälbitmuse skaalaparameetri hinnang viitab tugevale alahajuvusele, kuid Pearsoni skaalaparameetri hinnang viitab sellele, et mudelis hajuvusega probleeme ei ole. Enamasti alaha-juvust ei peeta mudeli juures suureks probleemiks ning seetõttu leiame, et Poissoni jaotus sobib neid andmeid kirjeldama.

Teisena hindame samuti üldistatud lineaarse mudeli, kuid uuritava tunnu-se tinglikuks jaotuseks eeldame negatiivset binoomjaotust. Ka negatiivse bi-

noomjaotuse mudeli korral ei ole võimalik lõplikusse mudelisse kaasata statistiliselt olulisi koosmõjusid. Negatiivse binoomjaotuse parimas mudelis osutuvad statistiliselt oluliseks samad tunnused, mis on ka Poissoni mudelis, ning regressioonikordajate hinnangud on väga sarnased. Programmi R väljundi leiab lisast 2 ning mudel avaldub kujul

$$\begin{aligned} \frac{\text{loss\_count}}{\text{days}} = & \exp(-10,64 - 0,0025 \cdot \text{days} + 0,51 \cdot \ln(\text{vehicle\_reg\_mass}) + \\ & + 0,60 \cdot I[\text{cl\_vehicle\_fuel} \in \{\text{bensiin} - \text{hübrid}, \text{surugaas}\}] + \\ & + 1,35 \cdot I[\text{cl\_vehicle\_fuel} = \text{elekter}] + \\ & - 0,013 \cdot \text{vehicle\_age} + 0,14 \cdot I[\text{gender} = 1] + \\ & - 0,058 \cdot \text{person\_age} + 0,00054 \cdot \text{person\_age}^2). \end{aligned} \quad (16)$$

MARS mudeli hindamisel kasutame Poissoni jaotuse eeldust, kuna funktsioonis **earth** on võimalik kasutada negatiivse binoomjaotust ainult juhul, kui parameetri  $k$  väärus on fikseeritud. MARS mudeli korral mõjutab kindlustuskahjude sagedust katte kehtivuse pikkus ning sõiduki vanus. Programmi R väljundi leiab lisast 3 ning mudel avaldub kujul

$$\begin{aligned} \frac{\text{loss\_count}}{\text{days}} = & \exp(-8,28 - 0,025 \cdot (56,2 - \text{days})_+ + \\ & - 0,0044 \cdot (\text{days} - 56,2)_+ + 0,0034 \cdot (\text{days} - 210)_+ + \\ & - 0,0040 \cdot (56,2 - \text{days})_+ \cdot (\text{vehicle\_age} - 17)_+ + \\ & - 0,0028 \cdot (56,2 - \text{days})_+ \cdot (17 - \text{vehicle\_age})_+). \end{aligned} \quad (17)$$

Kuna MARS mudelisse jäääb alles vaid kaks seletavat tunnust, siis teeme tee me tagasivaatelise sammregressiooni abil mudeli, mis kasutab MARSi mudelisse kaasatud tunnuseid tükiti ning ülejäänud tunnuseid lineaarsena. Sellised mudelid teeme nii Poissoni jaotuse kui ka negatiivse binoomjaotuse eeldusel. Mõlemal juhul jäävad mudelisse samad tunnused, mis varasemalt üldistatud lineaarsete mudelite puhul. Programmi R väljundi leiab vastavalt lisadest 4

ja 5, Poissoni mudel avaldub kujul

$$\begin{aligned}
 \frac{\text{loss\_count}}{\text{days}} = & \exp(-11,51 + 0,023 \cdot (56,2 - \text{days})_+ - 0,0039 \cdot (\text{days} - 56,2)_+ + \\
 & + 0,0029 \cdot (\text{days} - 210)_+ + 0,57 \cdot \ln(\text{vehicle\_reg\_mass}) + \\
 & + 0,71 \cdot I[\text{cl\_vehicle\_fuel} \in \{\text{bensiin} - \text{hübriid}, \text{surugaas}\}] + \\
 & + 1,48 \cdot I[\text{cl\_vehicle\_fuel} = \text{elekter}] + \\
 & - 0,0036 \cdot (56,2 - \text{days})_+ \cdot (\text{vehicle\_age} - 17)_+ + \\
 & - 0,0026 \cdot (56,2 - \text{days})_+ \cdot (17 - \text{vehicle\_age})_+ + \\
 & + 0,16 \cdot I[\text{gender} = 1] - 0,047 \cdot \text{person\_age} + \\
 & + 0,00043 \cdot \text{person\_age}^2)
 \end{aligned} \tag{18}$$

ning negatiivse binoomjaotuse mudel avaldub kujul

$$\begin{aligned}
 \frac{\text{loss\_count}}{\text{days}} = & \exp(-11,56 + 0,023 \cdot (56,2 - \text{days})_+ - 0,0039 \cdot (\text{days} - 56,2)_+ + \\
 & + 0,0030 \cdot (\text{days} - 210)_+ + 0,57 \cdot \ln(\text{vehicle\_reg\_mass}) + \\
 & + 0,71 \cdot I[\text{cl\_vehicle\_fuel} \in \{\text{bensiin} - \text{hübriid}, \text{surugaas}\}] + \\
 & + 1,49 \cdot I[\text{cl\_vehicle\_fuel} = \text{elekter}] + \\
 & - 0,0036 \cdot (56,2 - \text{days})_+ \cdot (\text{vehicle\_age} - 17)_+ + \\
 & - 0,0026 \cdot (56,2 - \text{days})_+ \cdot (17 - \text{vehicle\_age})_+ + \\
 & + 0,16 \cdot I[\text{gender} = 1] - 0,047 \cdot \text{person\_age} + \\
 & + 0,00043 \cdot \text{person\_age}^2).
 \end{aligned} \tag{19}$$

Kõikide mudelite Akaike informatsioonikriteeriumi väärised, jäälkide ruutude summad ning summaarne prognoositud kahjude arv on tabelis 3.

Tabel 3. Akaike kriteerium ja jäälkide ruutude summa erinevate mudelite korral

	Poisson	Negatiivne binoomjaotus	MARS	MARSiga Poisson	MARSiga negatiivne binoomjaotus
AIC	18 143	18 080	18 180	18 123	18 060
RSS	863,396	863,392	863,714	863,560	863,596

Tabelist 3 on näha, et testandmestikul leitud jäälkide ruutude summad on kõikide mudelite korral väga sarnased. Akaike informatsioonikriteeriumis on näha väikeseid erinevusi ning selle põhjal parim mudel on MARSi funktsioone kasutanud üldine lineaarne mudel, kus eeldataks negatiivset binoomjaotust. Kontrollime Vuongi testi abil hüpoteesi, kas MARSiga negatiivne binoomjaotuse mudel on parem kui tavaline negatiivne binoomjaotuse mudel. Vuongi testi  $p$ -väärtuseks on 0,044, mis on veidi väiksem, kui lubatud piir. Seetõttu võime võtta vastu sisuka hüpoteesi, mis ütleb, et MARSi tunnustega mudel on parem kui tavaline üldistatud lineaarne mudel negatiivse binoomjaotuse eeldusel.

Tabelis 4 on antud testandmestiku tegelik summaarne kahjude arv ning summaarsed kahjude arvu prognoosid katte kehtivuse gruppide põhjal. Üle kõigi gruppide annavad mudelid sarnaseid tulemusi, erinevus tegelikust on kuni kolm kahjut. Tabelist on näha, et Poissoni ja negatiivse binoomjaotuse mudeli prognoos kõige lühema kestusega katetele on täpne, kuid keskmise kehtivusega katete korral prognoositakse kahjude arvu märgatavalt suuremaks ning pikema kehtivusega katte korral prognoositakse kahjude arvu oluliselt väiksemaks. MARSi mudeli muutujaid kasutavad mudelid prognoosivad

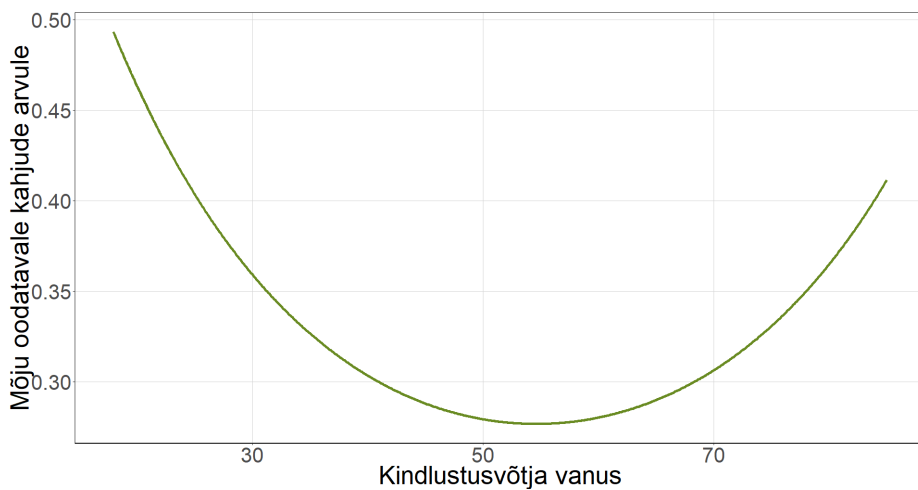
kõige lühema kehtivusega katete korral kahjude arvu mõnevõrra kõrgemaks, kuid teiste gruppide korral on prognoosid tegelikkusele lähemal kui tavalise Poissoni ja negatiivse binoomjaotuse mudelite korral.

Tabel 4. Summaarne kahjude arv testandmestikul katte kehtivuse lõikes

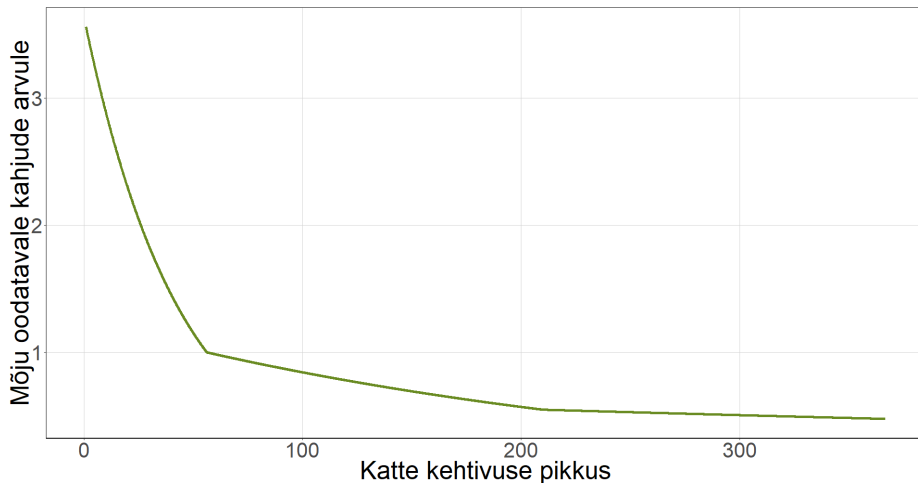
Katte kehtivus päevades	Tegelik	Poisson	Negatiivne binoomjaotus	MARS	MARSiga Poisson	MARSiga negatiivne binoomjaotus
[1, 56]	93	93,2	93,4	102,57	102,50	102,65
(56, 210]	388	422,39	422,93	405,93	406,54	406,34
(210, 367]	342	304,46	303,93	312,01	311,54	311,50
Kokku	823	820,05	820,26	820,51	820,58	820,49

Järgnevalt kirjeldame, kuidas erinevad argumenttunnused mõjutavad kahju- de tekkimise sagedust MARSi tunnustega negatiivse binoomjaotuse mudeli korral, kui ülejää nud tunnuste väärtsused on fikseeritud. Naiste kindlustus- kahjude arv on  $\exp(0,16) \approx 1,17$  korda ehk 17% võrra suurem kui meestel. Võrreldes bensiin-, diisel- ja bensiin-katalüsaatormootoriga autodega on elektriautode kahjude arv  $\exp(1,49) \approx 4,4$  korda suurem ning surugaasil töötava või bensiin-hübriidmootoriga autode kahjude arv on  $\exp(0,71) \approx 2$  korda suurem. Söiduki massi 10% tõusmisel kasvab prognoositav kindlustus- kahjude arv  $1,1^{0,57} \approx 1,06$  korda ehk kahjude arvu prognoos on 6% võrra kõrgem. Kindlustusvõtja vanus on mudelis sees ruutpolünoomina, kõige madalam prognoositav kindlustuskahjude arv on inimestel vanuses 55 aastat. Joonisel 3 on kujutatud kindlustusvõtja vanuse mõju kindlustuskahjude arvule. Jooniselt 4 on näha, et katte kehtivuse pikenedes oodatav kahjude arv kahaneb. Kuni kehtivuse pikkuseni 56 päeva kahaneb oodatav kahjude arv järslult, edasi kuni 210 päevani kanaheb oodatav kahjude arv aeglasemalt

ning lõpus kahaneb oodatav kahjude arv kõige aeglasmalt. Sõiduki vanus mõjutab oodatavat kahjude arvu vaid juhul, kui katte pikkus on kuni 56 päeva. Kuni sõiduki vanuseni 17 oodatav kahjude arv kasvab vanuse suurenedes ning vanemate autode puhul oodatav kahjude arv vanuse suurenedes kahaneb.



Joonis 3. Kindlustusvõtja vanuse mõju oodatavale kahjude arvule



Joonis 4. Katte kehtivuse pikkuse mõju oodatavale kahjude arvule

Tabelis 4 on antud testandmestiku tegelikud kahjude arvud ning kõigi mude-lite summaarsed prognoosid katte kehtivuse pikkuse lõikes. Vaatleme MARSi liikmetega negatiivse binoomjaotuse mudeli korral tegelikke ja summaarseid prognoose ka teiste tunnuste lõikes. Tabelis 5 on näha tegelik ja prognoositud summaarne kahjude arv kütuseliikide lõikes. Antud testandmestikul tundub, et baasist erinevates gruppides on oodatav kahjude arv umbes kaks korda kõrgem kui tegelik.

Tabel 5. Summaarne kahjude arv testandmestikul kütusetüibi lõikes

<b>Kütusetüüp</b>	<b>Tegelik</b>	<b>MARSiga negatiivne binoomjaotus</b>
Bensiin, bensiin-katalüsaator, diisel	817	808,9
Surugaas, bensiin-hübriid	1	2,5
Elekter	5	9,1

Tabelis 6 on toodud tegelik ja prognoosid summaarne kahjude arv kindlus-tusvõtja soo lõikes. Mudel prognoosib naistele vaid tegelikust kaks kahju rohkem ning meestele viis kahju vähem.

Tabel 6. Summaarne kahjude arv testandmestikul kindlustusvõtja soo lõikes

<b>Kindlustusvõtja sugu</b>	<b>Tegelik</b>	<b>MARSiga negatiivne binoomjaotus</b>
Mees	539	534,3
Naine	284	286,2

Jagame katted kindlustustusvõtja vanuse põhjal kvintiil-gruppidesse. Tabe-lis 7 on näha, et vanusegruppides  $(30,39]$  ja  $(39,47]$  on prognoosid tegeli-kule väga läheidal. Äärmistes vanusegruppides on prognoosid väga suurel määral erinevad tegelikust kahjude arvust. Noorte kindlustusvõtjate puhul

hindame oodatava kahjude arvu umbes 20 võrra suuremaks ning vanemate kindlustusvõtjate puhul hindame oodatava kahjude arvu umbes 30 võrra väiksemaks. Kuna erinevused on väga suured, siis oleks mõistlik võrdluseks sobitada mudel, kus vanuse ruutpolünoomi asemel kasutatakse mudelis vanusegruppe.

Tabel 7. Summaarne kahjude arv testandmestikul kindlustusvõtja vanuse lõikes

<b>Kindlustusvõtja vanus</b>	<b>Tegelik</b>	<b>MARSiga negatiivne binoomjaotus</b>
[18,30]	147	170,6
(30,39]	180	180,2
(39,47]	150	149,3
(47,57]	143	150,9
(57,85]	203	169,4

## Kokkuvõte

Töö eesmärgiks oli tutvustada mitmemõõtmelist adaptiivset regressioonisplaini ning võrrelda sellel meetodil leitud mudeliteid üldistatud lineaarsete mudelitega. Selleks andsime töö esimeses pooles ülevaate üldistatud lineaarsest mudelist, üldistatud aditiivsest mudelist ning mitmemõõtmelisest adaptiivsest regressioonisplainist. Töö teine pool sisaldab esimeses osas kirjeldatud meetodite rakendamist, mudelite võrdlemist ning interpreteerimist. Mudelid sobitasime Eesti liikluskindlustuse andmetele.

Esmalt hindasime kahjude sagedusele üldistatud lineaarsed mudelid kasutades log-seost ning Poissoni ja negatiivse binoomjaotuse eeldusi. Mõlemas mudelis mõjutavad kahjude sagedust katte kehtivuse pikkus, sõiduki registrimass, kütusetüüp ja vanus ning kindlustusvõtja sugu ja vanus, kusjuures Kordajate hinnangud on mudelites väga sarnased.

Seejärel hindasime MARSi mudeli kasutades log-seost ja Poissoni jaotuse eeldust. Selle põhjal mõjutavad kahjude sagedust vaid katte kehtivuse pikkus ning sõiduki vanus. Katte kehtivuse korral kasutatakse kahte sõlme ning sõiduki vanuse korral ühte sõlme. Akaike informatsioonikriteeriumi põhjal on üldistatud lineaarsed mudelid paremad kui MARSi mudel. Seetõttu otustasime hinnata tagasivaatelise sammregressiooni abil üldistatud lineaarsed mudelid nii Poissoni kui ka negatiivse binoomjaotuse eeldusel, kuid katte kehtivuse pikkus ja sõiduki vanus on asendatud MARSi mudeli transformatioonidega. Kahjude sagegdust mõjutavad nendes mudelites samad tunnused, mis mõjutavad kahjude sagedust tavalistes üldistatud lineaarsetes mudelites.

Selgus, et Akaike informatsioonikriteeriumi põhjal parim mudel on MARSi liikmetega negatiivse binoomjaotuse mudel. Testandmestikul uurisime lähemalt, kui täpselt see mudel prognoosib summaarset kahjude arvu erinevate tunnuste lõikes võrreldes tegeliku kahjude arvuga. Nägime, et sooliselt suudab mudel prognoosida väga sarnaseid tulemusi, kuid kindlustusvõtja vanuse korral on äärmiste väärustute korral suured erinevused. Nooremate kindlustusvõtjatele prognoosib mudel oluliselt kõrgemat kahjude arvu ning vanemate kindlustusvõtjate korral prognoosib tegelikust madalamat kahjude arvu. See tähendab, et alternatiivina võiks luua mudeli, kus kindlustusvõtja vanus on eelnevalt rühmitatud ning kaasatud mudelisse kategoorilise tunnusena.

## Kasutatud kirjandus

- Goldburd, M., Khare, A. ja Tevet, A. (2016). *Generalized Linear Models for Insurance Rating*. Casualty Actuarial Society, Virginia.
- Hastie, T. ja Tibshirani, R. (1987). Generalized additive models: Some applications. *Journal of the American Statistical Association*, 82.
- Hastie, T. ja Tibshirani, R. (1990). *Generalized Linear Models*. Chapman & Hall, London, first edition.
- Hastie, T., Tibshirani, R. ja Friedman, J. (2017). *The Elements of Statistical Learning: Data Mining, Inference, and Prediction*. Springer, New York, second edition, 12th printing.
- Jackman, S. (2017). Package ‘pscl’: Political Science Computational Laboratory. <https://cran.r-project.org/web/packages/pscl/pscl.pdf> [Kasutatud: 08.05.2019].
- James, G., Witten, D., Hastie, T. ja Tibshirani, R. (2017). *An Introduction to Statistical Learning with Applications in R*. Springer, New York, 8th printing.
- McCullagh, P. ja Nelder, J. (1989). *Generalized Linear Models*. Chapman & Hall, London, second edition.
- Milborrow, S. (2019). Package ‘earth’: Multivariate Adaptive Regression Splines. <https://cran.r-project.org/web/packages/earth/earth.pdf> [Kasutatud: 23.04.2019].

Montgomery, D., Peck, E. ja Vining, G. (2012). *Introduction to Linear Regression Analysis*. John Wiley Sons, Inc., Hoboken, 5th edition.

# Lisad

## Lisa 1. Poissoni mudeli väljund

```
##  
## Call:  
## glm(formula = LOSS_COUNT ~ DAYS + log(VEHICLE_REG_MASS) + CL_VEHICLE_FUEL_group +  
##       VEHICLE_AGE + GENDER + PERSON_AGE + I(PERSON_AGE^2), family = "poisson",  
##       data = sample_train, offset = log(DAYS))  
##  
## Deviance Residuals:  
##      Min        1Q     Median        3Q       Max  
## -0.6332   -0.2436   -0.1942   -0.1309    4.9861  
##  
## Coefficients:  
##                                     Estimate Std. Error z value Pr(>|z|)  
## (Intercept)                 -1.059e+01  1.203e+00 -8.800 < 2e-16  
## DAYS                      -2.471e-03  1.960e-04 -12.604 < 2e-16  
## log(VEHICLE_REG_MASS)      5.091e-01  1.566e-01  3.252 0.001146  
## CL_VEHICLE_FUEL_groupElekter 1.345e+00  3.808e-01  3.531 0.000414  
## CL_VEHICLE_FUEL_groupHübriid_CNG 6.078e-01  2.320e-01  2.620 0.008794  
## VEHICLE_AGE                -1.337e-02  4.042e-03 -3.307 0.000941  
## GENDER1                     1.409e-01  4.941e-02  2.851 0.004358  
## PERSON_AGE                  -5.810e-02  9.405e-03 -6.177 6.52e-10  
## I(PERSON_AGE^2)             5.397e-04  9.709e-05  5.559 2.71e-08  
##  
## (Intercept)                 ***  
## DAYS                      ***  
## log(VEHICLE_REG_MASS)      **  
## CL_VEHICLE_FUEL_groupElekter ***  
## CL_VEHICLE_FUEL_groupHübriid_CNG **  
## VEHICLE_AGE                ***  
## GENDER1                     **  
## PERSON_AGE                  ***
```

```

## I(PERSON_AGE^2) ***

## ---
## Signif. codes: 0 '***' 0.001 '**' 0.01 '*' 0.05 '.' 0.1 ',' 1

## (Dispersion parameter for poisson family taken to be 1)

## Null deviance: 14695 on 91649 degrees of freedom
## Residual deviance: 14403 on 91641 degrees of freedom
## AIC: 18143

## Number of Fisher Scoring iterations: 6

```

## Lisa 2. Negatiivse binoomjaotuse mudeli väljund

```

##
## Call:
## glm.nb(formula = LOSS_COUNT ~ DAYS + log(VEHICLE_REG_MASS) +
##         CL_VEHICLE_FUEL_group + VEHICLE_AGE + GENDER + PERSON_AGE +
##         I(PERSON_AGE^2) + offset(log(DAYS)), data = sample_train,
##         init.theta = 0.5136094733, link = log)
##
## Deviance Residuals:
##      Min        1Q     Median        3Q       Max
## -0.5815   -0.2402   -0.1927   -0.1304    4.4525
##
## Coefficients:
##                               Estimate Std. Error z value Pr(>|z|)
## (Intercept)                 -1.064e+01  1.237e+00 -8.602 < 2e-16
## DAYS                      -2.487e-03  2.013e-04 -12.356 < 2e-16
## log(VEHICLE_REG_MASS)       5.148e-01  1.609e-01   3.200  0.00137
## CL_VEHICLE_FUEL_groupElekter 1.351e+00  4.231e-01   3.192  0.00141
## CL_VEHICLE_FUEL_groupHübriid_CNG 6.049e-01  2.453e-01   2.466  0.01365
## VEHICLE_AGE                  -1.317e-02  4.146e-03  -3.176  0.00149
## GENDER1                     1.408e-01  5.079e-02   2.772  0.00557
## PERSON_AGE                   -5.799e-02  9.675e-03  -5.994  2.05e-09
## I(PERSON_AGE^2)                5.404e-04  9.989e-05   5.410  6.30e-08
## 
```

```

## (Intercept)      ***
## DAYS          ***
## log(VEHICLE_REG_MASS)   **
## CL_VEHICLE_FUEL_groupElekter    **
## CL_VEHICLE_FUEL_groupHübriid_CNG *
## VEHICLE_AGE        **
## GENDER1          **
## PERSON_AGE        ***
## I(PERSON_AGE^2)    ***
## ---
## Signif. codes:  0 '***' 0.001 '**' 0.01 '*' 0.05 '.' 0.1 ' ' 1
##
## (Dispersion parameter for Negative Binomial(0.5136) family taken to be 1)
##
## Null deviance: 12237  on 91649  degrees of freedom
## Residual deviance: 11960  on 91641  degrees of freedom
## AIC: 18080
##
## Number of Fisher Scoring iterations: 1
##
##
## Theta:  0.5136
## Std. Err.:  0.0912
##
## 2 x log-likelihood: -18060.4340

```

### Lisa 3. MARSi mudeli väljund

```

##
## Call:
## earth(formula = LOSS_COUNT ~ DAYS + log(VEHICLE_ENGINE_POWER) +
##       log(VEHICLE_REG_MASS) + VEHICLE_FRAME_TYPE + CL_VEHICLE_FUEL_group +
##       VEHICLE_AGE + GENDER + PERSON_AGE + I(PERSON_AGE^2) + offset(log(DAYS)),
##       data = sample_train, glm = list(family = "poisson"),
##       degree = 2, penalty = 3, thresh = 0.001)
## GLM coefficients
##                  LOSS_COUNT

```

```

## (Intercept) -8.2826566
## h(56.1646-DAYS) 0.0252340
## h(DAYS-56.1646) -0.0044025
## h(DAYS-210) 0.0033860
## h(56.1646-DAYS) * h(VEHICLE_AGE-17) -0.0040288
## h(56.1646-DAYS) * h(17-VEHICLE_AGE) -0.0028478
##
## GLM (family poisson, link log):
## nulldev df dev df devratio AIC iters converged
## 14694.5 91649 14446.5 91644 0.0169 18180 7 1
##
## Earth selected 6 of 6 terms, and 2 of 12 predictors
## Termination condition: RSq changed by less than 0.001 at 6 terms
## Importance: DAYS, VEHICLE_AGE, log(VEHICLE_ENGINE_POWER)-unused, ...
## Offset: log(DAYS) with values log(364.284), log(91.99931), log(91.9...
## Number of terms at each degree of interaction: 1 3 2
## Earth GCV 0.05512956 RSS 5051.135 GRSq 0.95033 RSq 0.9503436

```

## Lisa 4. MARSi tunnustega Poissoni mudeli väljund

```

##
## Call:
## glm(formula = LOSS_COUNT ~ DAYS56 + DAYS56_v + DAYS210 + DAYS56_v:V_AGE17 +
##      DAYS56_v:V_AGE17_v + GENDER + CL_VEHICLE_FUEL_group + PERSON_AGE +
##      I(PERSON_AGE^2) + log(VEHICLE_REG_MASS), family = "poisson",
##      data = sample_train, offset = log(DAYS))
##
## Deviance Residuals:
##      Min        1Q     Median        3Q       Max
## -0.6419   -0.2356   -0.1968   -0.1420    4.9261
##
## Coefficients:
##                               Estimate Std. Error z value Pr(>|z|)
## (Intercept) -1.151e+01  1.174e+00 -9.802 < 2e-16
## DAYS56      -3.892e-03  6.434e-04 -6.049 1.46e-09
## DAYS56_v     2.300e-02  4.740e-03  4.852 1.22e-06
## DAYS210      2.927e-03  1.018e-03  2.877 0.004020

```

```

## GENDER1           1.593e-01  4.910e-02  3.244  0.001178
## CL_VEHICLE_FUEL_groupElekter 1.482e+00  3.795e-01  3.907  9.36e-05
## CL_VEHICLE_FUEL_groupHübriid_CNG 7.139e-01  2.311e-01  3.089  0.002011
## PERSON_AGE        -4.733e-02  9.422e-03  -5.023  5.08e-07
## I(PERSON_AGE^2)   4.337e-04  9.712e-05  4.466  7.97e-06
## log(VEHICLE_REG_MASS) 5.654e-01  1.543e-01  3.664  0.000248
## DAYS56_v:V_AGE17  -3.580e-03  1.788e-03  -2.002  0.045293
## DAYS56_v:V_AGE17_v -2.556e-03  5.451e-04  -4.688  2.75e-06
##
## (Intercept)      ***
## DAYS56          ***
## DAYS56_v         ***
## DAYS210          **
## GENDER1          **
## CL_VEHICLE_FUEL_groupElekter *** 
## CL_VEHICLE_FUEL_groupHübriid_CNG **
## PERSON_AGE        ***
## I(PERSON_AGE^2)   ***
## log(VEHICLE_REG_MASS) ***
## DAYS56_v:V_AGE17  *
## DAYS56_v:V_AGE17_v ***
##
## ---
## Signif. codes:  0 '***' 0.001 '**' 0.01 '*' 0.05 '.' 0.1 ',' 1
##
## (Dispersion parameter for poisson family taken to be 1)
##
## Null deviance: 14695  on 91649  degrees of freedom
## Residual deviance: 14377  on 91638  degrees of freedom
## AIC: 18123
##
## Number of Fisher Scoring iterations: 7

```

## Lisa 5. MARSi tunnustega negatiivse binoomjaotuse mudeli väljund

```

## 
## Call:
## glm.nb(formula = LOSS_COUNT ~ DAYS56 + DAYS56_v + DAYS210 + DAYS56_v:V AGE17 +
##          DAYS56_v:V AGE17_v + GENDER + CL_VEHICLE_FUEL_group + PERSON_AGE +
##          I(PERSON_AGE^2) + log(VEHICLE_REG_MASS) + offset(log(DAYS)),
##          data = sample_train, init.theta = 0.5120736096, link = log)
##
## Deviance Residuals:
##      Min     1Q   Median     3Q    Max
## -0.5897 -0.2324 -0.1950 -0.1414  4.1146
##
## Coefficients:
##                               Estimate Std. Error z value Pr(>|z|)
## (Intercept)                -1.156e+01  1.207e+00 -9.577 < 2e-16
## DAYS56                   -3.921e-03  6.581e-04 -5.957 2.56e-09
## DAYS56_v                    2.303e-02  4.794e-03  4.803 1.56e-06
## DAYS210                     2.964e-03  1.044e-03  2.840 0.004513
## GENDER1                     1.600e-01  5.046e-02  3.172 0.001516
## CL_VEHICLE_FUEL_groupElekter  1.492e+00  4.248e-01  3.513 0.000444
## CL_VEHICLE_FUEL_groupHübriid_CNG 7.130e-01  2.448e-01  2.912 0.003590
## PERSON_AGE                  -4.713e-02  9.687e-03 -4.865 1.15e-06
## I(PERSON_AGE^2)              4.338e-04  9.988e-05  4.344 1.40e-05
## log(VEHICLE_REG_MASS)        5.706e-01  1.586e-01  3.598 0.000321
## DAYS56_v:V AGE17            -3.565e-03  1.800e-03 -1.981 0.047647
## DAYS56_v:V AGE17_v           -2.559e-03  5.492e-04 -4.659 3.17e-06
##
## (Intercept)                 ***
## DAYS56                      ***
## DAYS56_v                     ***
## DAYS210                     **
## GENDER1                     **
## CL_VEHICLE_FUEL_groupElekter ***
## CL_VEHICLE_FUEL_groupHübriid_CNG **
## PERSON_AGE                   ***

```

```

## I(PERSON_AGE^2)          ***
## log(VEHICLE_REG_MASS)    ***
## DAYS56_v:V_AGE17         *
## DAYS56_v:V_AGE17_v       ***
## ---
## Signif. codes:  0 '***' 0.001 '**' 0.01 '*' 0.05 '.' 0.1 ' ' 1
##
## (Dispersion parameter for Negative Binomial(0.5121) family taken to be 1)
##
##      Null deviance: 12232  on 91649  degrees of freedom
## Residual deviance: 11929  on 91638  degrees of freedom
## AIC: 18060
##
## Number of Fisher Scoring iterations: 1
##
##
##          Theta:  0.5121
##          Std. Err.:  0.0907
##
## 2 x log-likelihood: -18034.1170

```

## Lisa 6. R-i kood

```

library(ggplot2)
library(gridExtra)
#MARSi baasfunktsioonid
t<-3
y<-c(pmax(x[1:11]-t,0),pmax(t-x[1:11],0))
data2<-data.frame(x=x,y=y,jrk=rep(c("A","B"),each=length(x)/2))
t<-8
y<-c(pmax(x[1:11]-t,0),pmax(t-x[1:11],0))
data3<-data.frame(x=x,y=y,jrk=rep(c("A","B"),each=length(x)/2))
data4<-data.frame(x=seq(0,3,length.out = 22),jrk="A",y=0)
data5<-data.frame(x=seq(3,5,length.out = 22),jrk="A",y=0)
ggplot(data, mapping=aes(x=x,y=y,group=jrk,linetype=jrk))+ 
  geom_line(size=2,color="goldenrod2")+
  theme(legend.position="none",text = element_text(size=40),
  panel.background =element_blank(), panel.border = element_rect(size=1,fill=NA),

```

```

panel.grid.major = element_line(colour="lightgray"))+
scale_linetype_manual(values=c("solid","dotted"))+
geom_vline(xintercept=5,size=2,linetype="dashed",colour="gray52")+
ylab("Baasfunktsioon")+geom_line(data3,mapping=aes(x=x,y=y),color="olivedrab4",
size=2)+geom_line(data2,mapping=aes(x=x,y=y),color="midnightblue",size=2)+
geom_line(size=2,color="goldenrod2")+geom_line(data4,mapping=aes(x=x,y=y),
linetype="longdash",color="midnightblue", size=2)+geom_line(data4,
mapping=aes(x=x,y=y),linetype="dashed",color="goldenrod2",size=2)+
geom_line(data4,mapping=aes(x=x,y=y),linetype="dashed",color="olivedrab4",
size=2)+geom_line(data5,mapping=aes(x=x,y=y),linetype="dashed",
color="olivedrab4",size=2)+geom_line(data5,mapping=aes(x=x,y=y),
linetype="dotted",color="midnightblue",size=2)

#joonis poissoni ja NB jaotuste kohta
t<-0:30
mu=10
k=2
pi=k/(k+mu)
data11<-data.frame(x=c(t,t),y=c(dpois(t,mu),dnbinom(t,mu=mu,size=2)),
grupp=c(rep("Po(10)",31),rep("NB(2,1/6)",31)))
data12<-data.frame(x=c(t,t),y=c(dpois(t,mu),dnbinom(t,mu=mu,size=10)),
grupp=c(rep("Po(10)",31),rep("NB(10,1/2)",31)))
g1<-ggplot(data11,mapping=aes(x=x,y=y,group=grupp,shape=grupp,color=grupp))+

  geom_point(size=6)+theme(legend.position = c(0.8, 0.8),
  legend.title=element_blank(),text=element_text(size=40),
  panel.background=element_blank(),
  panel.grid.major = element_line(colour="lightgray"),
  panel.border = element_rect(size=1,fill=NA))+

  scale_color_manual(values = c("olivedrab4","goldenrod2"))+
  scale_shape_manual(values=c(18,19))

g2<-ggplot(data12,mapping=aes(x=x,y=y,group=grupp,shape=grupp,color=grupp))+

  geom_point(size=6)+theme(legend.position = c(0.8, 0.8),
  legend.title=element_blank(),text = element_text(size=40),
  panel.background =element_blank(),
  panel.grid.major = element_line(colour="lightgray"),
  panel.border = element_rect(size=1,fill=NA))+

  scale_color_manual(values = c("olivedrab4","goldenrod2"))+
  scale_shape_manual(values=c(18,19))

grid.arrange(g1, g2, ncol=2)

```

```

#praktiline osa
library(car)
library(MASS)
library(earth)
library(pscl)
library(ggplot2)
library(gridExtra)
#andmestiku sisselugemine, korrastamine
load("C:/users/perttu/documents/magister/valim.Rdata")
nrow(valim)
#andmestiku suurus 138 642
sample<-valim
#fikseerin keretüübi
sample<-sample[sample$VEHICLE_FRAME_TYPE%in%c("LUUKPÄRA", "MAHTUNIVERSAAL",
    "SEDAAN", "UNIVERSAAL"),]
sample$CL_VEHICLE_FUEL_group<-sample$CL_VEHICLE_FUEL
sample$CL_VEHICLE_FUEL_group[sample$CL_VEHICLE_FUEL=="Bensiin"]<-
    "Bensiin_diisel_kat"
sample$CL_VEHICLE_FUEL_group[sample$CL_VEHICLE_FUEL=="Diisel"]<-
    "Bensiin_diisel_kat"
sample$CL_VEHICLE_FUEL_group[sample$CL_VEHICLE_FUEL=="Bensiin-Kat"]<-
    "Bensiin_diisel_kat"
sample$CL_VEHICLE_FUEL_group[sample$CL_VEHICLE_FUEL=="Bensiin-Hübriid"]<-
    "Hübriid_CNG"
sample$CL_VEHICLE_FUEL_group[sample$CL_VEHICLE_FUEL=="Surugaas (CNG)"]<-
    "Hübriid_CNG"
#jätame kõrvale kõik vaatlused, mille isikukoodi algus ei ole numbriline -
#pole tegemist eesti isikukoodiga, ei saa eraldada sugu ega vanust
sample<-sample[!(is.na(as.numeric(sample$KK_SSID))),]
#sugu
GENDER_temp<-substring(sample$KK_SSID,1,1)
#0 - male, 1 - female
sample$GENDER<-GENDER_temp
sample$GENDER[GENDER_temp%in%c(3,5)]<-'0'
sample$GENDER[GENDER_temp%in%c(4,6)]<-'1'
#vanus
BIRTHYEAR<-as.numeric(substring(sample$KK_SSID,2,3))
BIRTHYEAR[GENDER_temp%in%c(5,6)]<-2000+BIRTHYEAR[GENDER_temp%in%c(5,6)]

```

```

BIRTHYEAR[GENDER_temp%in%c(3,4)]<-1900+BIRTHYEAR[GENDER_temp%in%c(3,4)]
sample$PERSON_AGE<-sample$START_YEAR-BIRTHYEAR
#auto vanus
sample$VEHICLE_AGE<-sample$START_YEAR-sample$VEHICLE_PRIME_REGISTRATION
#lõplik andmestik
sample_final<-sample[sample$PERSON_AGE>=18 & sample$PERSON_AGE<=85 &
sample$DAYS>=1 & !(sample$CL_VEHICLE_FUEL=="Diisel-Hübriid") &
sample$VEHICLE_ENGINE_POWER>7 & sample$VEHICLE_AGE<=25,]
sample_final$CL_VEHICLE_FUEL_group<-
relevel(as.factor(sample_final$CL_VEHICLE_FUEL_group),
ref="Bensiin_diisel_kat")
nrow(sample_final)
summary(sample_final)
sd(sample_final$DAYS);sd(sample_final$LOSS_COUNT);
sd(sample_final$VEHICLE_ENGINE_POWER);sd(sample_final$VEHICLE_REG_MASS);
sd(sample_final$PERSON_AGE);sd(sample_final$VEHICLE_AGE)
round(prop.table(table(sample_final$GENDER))*100,1)
round(prop.table(table(sample_final$VEHICLE_FRAME_TYPE))*100,1)
round(prop.table(table(sample_final$CL_VEHICLE_FUEL))*100,1)

#jaotamine treening- ja testandmestikuks (70-30)
set.seed(85)
ss <- sample(1:2,size=nrow(sample_final),replace=TRUE,prob=c(0.7,0.3))
sample_train<-sample_final[ss==1,]
sample_test<-sample_final[ss==2,]
nrow(sample_train);nrow(sample_test)

#Poissoni mudeli loomine
mP<-glm(LOSS_COUNT~DAYS+log(VEHICLE_ENGINE_POWER)+log(VEHICLE_REG_MASS)+
VEHICLE_FRAME_TYPE+CL_VEHICLE_FUEL_group+VEHICLE_AGE+GENDER+PERSON_AGE+
I(PERSON_AGE^2), family="poisson",data=sample_train, offset=log(DAYS))
summary(mP) #AIC = 18 143
#Mootori võimsus välja (p=0,69)
mP<-glm(LOSS_COUNT~DAYS+log(VEHICLE_REG_MASS)+VEHICLE_FRAME_TYPE+
CL_VEHICLE_FUEL_group+VEHICLE_AGE+GENDER+PERSON_AGE+I(PERSON_AGE^2),
family="poisson",data=sample_train, offset=log(DAYS))
summary(mP) #AIC = 18 141
#keretüüp ka välja
mP<-glm(LOSS_COUNT~DAYS+log(VEHICLE_REG_MASS)+CL_VEHICLE_FUEL_group+

```

```

VEHICLE_AGE+GENDER+PERSON_AGE+I(PERSON_AGE^2),
family="poisson", data=sample_train, offset=log(DAYS))
summary(mP) #AIC = 18 143

#Negatiivse binoomjaotuse mudeli loomine
mNB<-glm.nb(LOSS_COUNT~DAYS+log(VEHICLE_ENGINE_POWER)+log(VEHICLE_REG_MASS)+  

  VEHICLE_FRAME_TYPE+CL_VEHICLE_FUEL_group+VEHICLE_AGE+GENDER+PERSON_AGE+  

  I(PERSON_AGE^2)+offset(log(DAYS)), data=sample_train)
summary(mNB) #AIC = 18 081
#mootori võimsus välja
mNB<-glm.nb(LOSS_COUNT~DAYS+log(VEHICLE_REG_MASS)+VEHICLE_FRAME_TYPE+  

  CL_VEHICLE_FUEL_group+VEHICLE_AGE+GENDER+PERSON_AGE+I(PERSON_AGE^2)+  

  offset(log(DAYS)), data=sample_train)
summary(mNB) #AIC = 18 080
#keretüüp välja
mNB<-glm.nb(LOSS_COUNT~DAYS+log(VEHICLE_REG_MASS)+CL_VEHICLE_FUEL_group+  

  VEHICLE_AGE+GENDER+PERSON_AGE+I(PERSON_AGE^2)+offset(log(DAYS)),
  data=sample_train)
summary(mNB) #AIC = 18 080

####MARS
mMARS<-earth(LOSS_COUNT~DAYS+log(VEHICLE_ENGINE_POWER)+log(VEHICLE_REG_MASS)+  

  VEHICLE_FRAME_TYPE+CL_VEHICLE_FUEL_group+VEHICLE_AGE+GENDER+PERSON_AGE+  

  offset(log(DAYS)), data=sample_train, degree=2, penalty = 3, thresh = 0.001,  

  glm=list(family="poisson"))
summary(mMARS)

#teeme glmi tarbeks uued muutujad, alustan täiesti esimesest mudelist
sample_train$DAYS56<-
  (sample_train$DAYS-56.1646)*((sample_train$DAYS>56.1646)*1)
sample_train$DAYS56_v<-
  (56.1646-sample_train$DAYS)*((sample_train$DAYS<56.1646)*1)
sample_test$DAYS56<-
  (sample_test$DAYS-56.1646)*((sample_test$DAYS>56.1646)*1)
sample_test$DAYS56_v<-
  (56.1646-sample_test$DAYS)*((sample_test$DAYS<56.1646)*1)
sample_train$DAYS210<-
  (sample_train$DAYS-210)*((sample_train$DAYS>210)*1)
sample_test$DAYS210<-

```

```

(sample_test$DAYS-210)*((sample_test$DAYS>210)*1)
sample_train$V_AGE17<-
  (sample_train$VEHICLE_AGE-17)*((sample_train$VEHICLE_AGE>17)*1)
sample_train$V_AGE17_v<-
  (17-sample_train$VEHICLE_AGE)*((sample_train$VEHICLE_AGE<17)*1)
sample_test$V_AGE17<-
  (sample_test$VEHICLE_AGE-17)*((sample_test$VEHICLE_AGE>17)*1)
sample_test$V_AGE17_v<-
  (17-sample_test$VEHICLE_AGE)*((sample_test$VEHICLE_AGE<17)*1)

mMARS_glm_po<-glm(LOSS_COUNT~DAYS56+DAYS56_v+DAYS210+DAYS56_v:V_AGE17+
  DAYS56_v:V_AGE17_v,offset=log(DAYS),data=sample_train,family="poisson")
#AIC18 180
summary(mMARS_glm_po)
#Mars(Po)+manuaalne
mMARS_glm_po_add<-glm(LOSS_COUNT~DAYS56+DAYS56_v+DAYS210+DAYS56_v:V_AGE17+
  DAYS56_v:V_AGE17_v+GENDER+CL_VEHICLE_FUEL_group+PERSON_AGE+I(PERSON_AGE^2)+log(VEHICLE_REG_MASS), offset=log(DAYS),data=sample_train,family="poisson")
summary(mMARS_glm_po_add) #AIC = 18 123
#Mars(NB)+manuaalne
mMARS_glm_nb_add<-glm.nb(LOSS_COUNT~DAYS56+DAYS56_v+DAYS210+DAYS56_v:V_AGE17+
  DAYS56_v:V_AGE17_v+GENDER+CL_VEHICLE_FUEL_group+PERSON_AGE+I(PERSON_AGE^2)+log(VEHICLE_REG_MASS)+offset(log(DAYS)),data=sample_train)
summary(mMARS_glm_nb_add) #AIC = 18 060

#AIC
AIC(mP, mNB, mMARS_glm_po, mMARS_glm_po_add,mMARS_glm_nb_add)
#RSS
#poisson
mP_pred<-predict(mP,newdata=sample_test,type="response")
sum((sample_test$LOSS_COUNT-mP_pred)^2) #863,396
#NB
mNB_pred<-predict(mNB,newdata=sample_test,type="response")
sum((sample_test$LOSS_COUNT-mNB_pred)^2) #863,392
#MARS
mMARS_glm_po_pred<-predict(mMARS_glm_po,newdata=sample_test,type="response")
sum((sample_test$LOSS_COUNT-mMARS_glm_po_pred)^2) #863,714
#MARS+Po
mMARS_glm_po_add_pred<-predict(mMARS_glm_po_add,newdata=sample_test,

```

```

    type="response")
sum((sample_test$LOSS_COUNT-mMARS_glm_po_add_pred)^2) #863,560
#MARS+NB
mMARS_glm_nb_add_pred<-predict(mMARS_glm_nb_add,newdata=sample_test,
    type="response")
sum((sample_test$LOSS_COUNT-mMARS_glm_nb_add_pred)^2) #863,596

#vuong
vuong(mNB,mMARS_glm_nb_add)
vuong(mP,mNB) #nb parem

#prognoositud kahjude arv
DAYS_g<-cut(sample_test$DAYS,breaks=c(min(sample_test$DAYS),56.2,210,
    max(sample_test$DAYS)),include.lowest = TRUE,right=TRUE)
sample_test2<-data.frame(LOSS_COUNT=sample_test$LOSS_COUNT, mP_pred, mNB_pred,
    mMARS_glm_po_pred, mMARS_glm_po_add_pred,mMARS_glm_nb_add_pred, DAYS_g)
aggregate(.~DAYS_g, data=sample_test2,FUN="sum")
colSums(sample_test2[,1:6])
#päevade arvu mõju
days_x<-seq(min(sample_train$DAYS),max(sample_train$DAYS),by=.1)
h<-function(x){
    return(0.023*pmax(56.2-x,0)-0.0039*pmax(x-56.2,0)+0.003*pmax(x-210,0))
}
days_y<-h(days_x)
data13<-data.frame(x=days_x,y=exp(days_y))
ggplot(data13,mapping=aes(x=x,y=y))+geom_line(size=2,color="olivedrab4")+
    theme(legend.position = "none",legend.title=element_blank(),
    text = element_text(size=40),panel.background =element_blank(),
    panel.grid.major = element_line(colour="lightgray"),
    panel.border = element_rect(size=1,fill=NA))+xlab("Katte kehtivuse pikkus")+
    ylab("Mõju oodatavale kahjude arvule")
#vanuse mõju
vanus_x<-seq(min(sample_train$PERSON_AGE),max(sample_train$PERSON_AGE),by=0.1)
vanus_y<-0.047*vanus_x+0.00043*vanus_x^2
data15<-data.frame(x=vanus_x, y=exp(vanus_y))
ggplot(data15,mapping=aes(x=x,y=y))+geom_line(size=2,color="olivedrab4")+
    theme(legend.position = "none",text = element_text(size=40),
    panel.background =element_blank(),
    panel.grid.major = element_line(colour="lightgray")),

```

```

panel.border = element_rect(size=1,fill=NA))+xlab("Kindlustusvõtja vanus")+
ylab("Mõju oodatavale kahjude arvule")

#loendame kütusetüubi järgi
data_fuel<-data.frame(CL_VEHICLE_FUEL_group=sample_test$CL_VEHICLE_FUEL_group,
LOSS_COUNT=sample_test$LOSS_COUNT, mMARS_glm_nb_add_pred)
aggregate(.~CL_VEHICLE_FUEL_group, data=data_fuel,FUN="sum")
#sugu
data_gender<-data.frame(GENDER=sample_test$GENDER,LOSS_COUNT=sample_test$LOSS_COUNT,
mMARS_glm_nb_add_pred)
aggregate(.~GENDER, data=data_gender,FUN="sum")
#isiku vanus
person_quant<-quantile(sample_test$PERSON_AGE,prob=seq(0,1,by=.2))
data_age<-data.frame(PERSON_AGE_g=cut(sample_test$PERSON_AGE,
breaks=as.numeric(person_quant),
include.lowest = TRUE,right=TRUE), LOSS_COUNT=sample_test$LOSS_COUNT,
mMARS_glm_nb_add_pred)
aggregate(.~PERSON_AGE_g, data=data_age,FUN="sum")
#registrimass
reg_mass_quant<-quantile(sample_test$VEHICLE_REG_MASS,prob=seq(0,1,by=.2))
data_mass<-data.frame(REG_MASS_g=cut(sample_test$VEHICLE_REG_MASS,
breaks=as.numeric(reg_mass_quant),include.lowest = TRUE,right=TRUE),
LOSS_COUNT=sample_test$LOSS_COUNT, mMARS_glm_nb_add_pred)
aggregate(.~REG_MASS_g, data=data_mass,FUN="sum")

```

**Lihtlitsents lõputöö reproduutseerimiseks ja üldsusele kättesaadavaks tegemiseks**

Mina, Perttu Narvik,

1. annan Tartu Ülikoolile tasuta loa (lihtlitsentsi) minu loodud teose „Sõidukite kindlustuskahjude sageduse hindamine mitmemõõtmelise adaptiivse regressioonsplaini abil”, mille juhendajad on Meelis Käärik ja Tõnis Maldre, reproduutseerimiseks eesmärgiga seda säilitada, sealhulgas lisada digitaalarhiivi DSpace kuni autoriõiguse kehtivuse lõppemiseni.
2. Annan Tartu Ülikoolile loa teha punktis 1 nimetatud teos üldsusele kättesaadavaks Tartu Ülikooli veebikeskkonna, sealhulgas digitaalarhiivi DSpace kaudu Creative Commonsi litsentsiga CC BY NC ND 3.0, mis lubab autorile viiata teost reproduutseerida, levitada ja üldsusele suunata ning keelab luua tuletatud teost ja kasutada teost ärieesmärgil, kuni autoriõiguse kehtivuse lõppemiseni.
3. Olen teadlik, et punktides 1 ja 2 nimetatud õigused jäavad alles ka autorile.
4. Kinnitan, et lihtlitsentsi andmisega ei riku ma teiste isikute intellektuaalomandi ega isikuandmete kaitse õigusaktidest tulenevaid õigusi.

Perttu Narvik

15.05.2019